

ALGORITHM ACCOUNTABILITY LAB
FACHBEREICH INFORMATIK
TECHNISCHE UNIVERSITÄT
KAISERSLAUTERN

Masterarbeit

Qualitätsmaße binärer
Klassifikatoren im Bereich
kriminalprognostischer Instrumente
der vierten Generation

Tobias D. Krafft

12. Mai 2017

Masterarbeit

**Qualitätsmaße binärer
Klassifikatoren im Bereich
kriminalprognostischer
Instrumente der vierten
Generation**

Algorithm Accountability Lab
Fachbereich Informatik
TECHNISCHE UNIVERSITÄT KAISERSLAUTERN

Tobias D. Krafft
krafft@cs.uni-kl.de
OrcID: 0000-0002-3527-1092

Tag der Ausgabe : 15. November 2016
Tag der Abgabe : 12. Mai 2017

Erstgutachter : Prof. Dr. Katharina A. Zweig
Zweitgutachter : Prof. Dr. Nicholas A. Diakopoulos

Ich erkläre hiermit, die vorliegende Masterarbeit selbständig verfasst zu haben. Die verwendeten Quellen und Hilfsmittel sind im Text kenntlich gemacht und im Literaturverzeichnis vollständig aufgeführt.

Kaiserslautern, den 12. Mai 2017

(Tobias D. Krafft)

Abstract

This master's thesis discusses an important issue regarding how algorithmic decision making (ADM) is used in crime forecasting. In America forecasting tools are widely used by judiciary systems for making decisions about risk offenders based on criminal justice for risk offenders. By making use of such tools, the judiciary relies on ADM in order to make error free judgement on offenders. For this purpose, one of the quality measures for machine learning techniques which is widely used, the *AUC* (area under curve), is compared to and contrasted for results with the *PPV_k* (positive predictive value). Keeping in view the criticality of judgement along with a high dependency on tools offering ADM, it is necessary to evaluate risk tools that aid in decision making based on algorithms.

In this methodology, such an evaluation is conducted by implementing a common machine learning approach called binary classifier, as it determines the binary outcome of the underlying juristic question. This thesis showed that the *PPV_k* (positive predictive value) technique models the decision of judges much better than the *AUC*. Therefore, this research has investigated whether there exists a classifier for which the *PPV_k* deviates from *AUC* by a large proportion. It could be shown that the deviation can rise up to 0.75. In order to test this deviation on an already in used Classifier, data from the fourth generation risk assessment tool COMPAS was used. The results were quite alarming as the two measures deviate from each other by 0.48.

In this study, the risk assessment evaluation of the forecasting tools was successfully conducted, carefully reviewed and examined. Additionally, it is also discussed whether such systems used for the purpose of making decisions should be socially accepted or not.

Kurzzusammenfassung

Die vorliegende Masterarbeit setzt sich kritisch mit der Integration von algorithmischen Entscheidungssystemen (ADM) in der Kriminalprognostik auseinander, und versucht die Begutachtungsstrategien der Justiz zu beleuchten, indem sie die AUC als bewährtes Qualitätsmaß aus dem maschinellen Lernen dem PPV_k gegenüberstellt.

Zunächst wird ein Überblick über die standardisierten Prognoseinstrumente zur Individualvorhersage der deutschen sowie US-amerikanischen Kriminalprognostik gegeben.

Da das Justizsystem in den USA aktuell bei der Beurteilung von Straftätern stark auf ADMs baut, stellt sich die zentrale Frage, wie solche Instrumente bewertet werden und welche gesellschaftliche Akzeptanz sie erfahren.

Die hier Anwendung findenden Instrumente aus dem maschinellen Lernen münden meist in binären Klassifikatoren, da die juristische Fragestellung nur duale Urteile zulässt. Das vorherrschende Repertoire zur Bewertung solcher Klassifikatoren ist zwar differenziert, jedoch wird in diesem Umfeld vorwiegend die ‚Area under the curve‘ (AUC) zur Evaluation herangezogen.

Diese Arbeit überprüft deshalb, ob es Klassifikatoren gibt, für die dieses Qualitätsmaß deutlich vom ‚Positive Predictive Value‘ (PPV_k) abweicht, der als Evaluationsmöglichkeit den richterlichen Entscheidungsprozess realistischer abbildet. Die Ergebnisse sind besorgniserregend, da Abweichungen von bis zu 0.75 nachweislich möglich sind.

Dieser Effekt konnte abschließend an dem vom Justizsystem in Wisconsin eingesetzten Prognoseinstrument der vierten Generation ‚COMPAS‘ auf realen Daten nachgewiesen werden. Hier sind Abweichungen von bis zu 0.48 zu verzeichnen.

Inhaltsverzeichnis

1	Einleitung	1
1.1	Kriminalprognosen und ihre immanente Problematik	2
1.2	Der Einzug der algorithmischen Entscheidungsfindung (ADM) in die Kriminalprognostik	3
1.2.1	Die Integration von ADMs in die kriminalprognostischen Instrumente im US-amerikanischen Justizwesen	4
1.2.2	Der Umgang der deutschen Justiz mit ADM gestützten Risikoprognosen	5
1.3	Ziele der Arbeit	6
2	Binäre Klassifikatoren und ihre Beurteilung	7
2.1	Definition ‚binärer Klassifikator‘	7
2.2	Einführung in die statistischen Gütekriterien	8
2.3	Sensitivität und Spezifität	9
2.4	Precision und Recall	10
2.5	F1-Score	10
2.6	Area under the Receiver Operating Characteristic (<i>AUC</i>)	11
2.7	Positive Predictive Value und der PPV_k	12
3	Entwicklung der standardisierten Prognoseinstrumente zur Rückfälligkeitsanalyse und des ‘State of the Art‘ ihrer Beurteilung	15
3.1	Methoden der Kriminalprognose	15
3.2	Vorstellung der vier Generationen standardisierter Prognoseinstrumente zur Rückfälligkeitsanalyse	17
3.3	State of the Art — Wo und wie wird die <i>AUC</i> verwendet	19
4	Abweichung zwischen <i>AUC</i> und PPV_k	23
4.1	Symmetriebetrachtung	25
4.1.1	Symmetriebetrachtung der <i>AUC</i>	25
4.1.2	Symmetriebetrachtung des PPV_k	26
4.2	Extremwertbetrachtung für die <i>AUC</i> und den PPV_k	28
4.2.1	Betrachtung der Abhängigkeit der <i>AUC</i> vom PPV_k	28
4.2.1.1	Maximale <i>AUC</i> für festen PPV_k	31
4.2.1.2	Minimale <i>AUC</i> für festen PPV_k	34
4.2.1.3	Vergleich maximaler und minimaler <i>AUC</i> für festen PPV_k	36
4.2.2	Betrachtung der Abhängigkeit des PPV_k von der <i>AUC</i>	38
4.2.2.1	Maximaler PPV_k für feste <i>AUC</i>	39
4.2.2.2	Minimaler PPV_k für feste <i>AUC</i>	40
4.2.2.3	Vergleich maximaler und minimaler PPV_k für feste <i>AUC</i>	41

5	Überprüfung der Ergebnisse für das COMPAS Assessment Tool	43
5.1	Definition und Erläuterung zum COMPAS Assessment Tool	44
5.2	Auswertung der ProPublica Daten zum COMPAS Assessment Tool	45
5.2.1	Threats to validity — Gefahren für die Gültigkeit der Ergebnisse . .	47
6	Schlussfolgerung/Fazit	49
	Literaturverzeichnis	53

1. Einleitung

Der Bürger eines jeden demokratischen Rechtsstaates erwartet von der Justiz Gerechtigkeit und einen höchstmöglichen Schutz vor jeglicher Art von Angriff auf seine Person und Rechte. Jedoch sollte ein Angeklagter im Falle der nachgewiesenen Schuld ein gerechtes Urteil im Hinblick auf seine Straftat und eine dementsprechend angemessene Strafe erwarten können. In früheren Zeiten oblag es allein dem Richter und etwaigen Beratern, Persönlichkeit und zukünftiges Legalverhalten eines Angeklagten einzuschätzen und beispielsweise zu entscheiden, ob dieser eine Gefahr für die Öffentlichkeit darstellt und verwahrt werden muss, oder ob die Strafe zur Bewährung ausgesetzt werden kann.

Diese über Jahrhunderte praktizierte, allein auf der subjektiven Einschätzung und Prognose des Richters basierende Urteilsfindung war natürlich extrem anfällig für Fehlurteile, auch hinsichtlich der Höhe des verhängten Strafmaßes. Die Wissenschaftswelt setzte sich daher mit der Problematik schon im Zuge der Aufklärung auseinander. So forderte der italienische Rechtsphilosoph Cesare Beccaria bereits in seinem 1764 erschienenen Werk „*Dei delitti e delle pene*“¹ [Cesare 64] die Verhältnismäßigkeit der Sanktion zur begangenen Straftat und gilt insofern heute als Wegbereiter der Kriminologie [Rössner 00], denn die durch ihn ausgelösten Diskussionen führten insgesamt zum Bemühen, die Rechtsprechung von subjektiver Willkür zu befreien und objektive Kriterien für die Urteilsfindung zu entwickeln. Ein erster Ansatz eines kriminalprognostischen Versuchs lässt sich bei dem Turiner Arzt Lombroso erkennen [Schwind 10, S.96], der 1887 die These vertrat, dass Verbrecher an äußeren Merkmalen (stigmata) erkennbar seien² und dies mit umfangreichen empirisch-biometrischen Studien zu belegen versuchte. Anfang des 20. Jahrhunderts wurden schließlich erste Kriterienkataloge entwickelt, sogenannte Prognosetafeln, mittels derer man potenzielle Straftäter zu identifizieren hoffte [Nedopil 05, S.43f] und die somit den Grundstein zur statistischen Kriminalprognose legten (Zur Entwicklung der kriminalprognostischen Instrumente, siehe Kapitel 3.1).

¹zu deutsch: Über Vergehen und deren Strafe

² Dieser sogenannte ‚Etikettierungsansatz‘ setzte sich im Übrigen im angloamerikanischen Raum durch und wurde in Deutschland von Sack noch in den 1970-er Jahren vertreten, so Sack in seinem „Handbuch der empirischen Sozialforschung“ [Sack 78]

1.1 Kriminalprognosen und ihre immanente Problematik

Es empfiehlt sich zunächst, eine kurze Begriffsklärung vorzunehmen, da sich in der Literatur keine einheitliche Definition der ‚Kriminalprognose‘ findet. Nach Nedopil zielt eine Kriminalprognose auf die Frage, ob ein Mensch oder eine bestimmte Gruppe von Menschen zukünftig gegen das Strafgesetz verstoßen werden, unabhängig davon, ob sie zuvor kriminell aufgefallen sind [Nedopil 05, S.17].

Im Strafrecht geht es jedoch primär um die Feststellung der individuellen Schuld, sodass nur Individualprognosen von Relevanz sind. Außerdem steht ein Angeklagter wegen einer eventuell begangenen Straftat vor Gericht, weswegen hier der praxisnäheren Definition von Kröber gefolgt wird:

„Die gutachterliche Beurteilung der Kriminalprognose ist eine Risikobeurteilung zu der Frage, mit welcher Wahrscheinlichkeit eine bestimmte Person mit bestimmten Delikten straffällig werden wird.“ [Kröber 06, S.88]

Ähnlich wird auch die sogenannte Gefährlichkeitsprognose definiert als eine *„wissenschaftlich fundierte Wahrscheinlichkeitseinschätzungen darüber, (...) in welchem Maße eine bereits mit Straftaten in Erscheinung getretene Person in der Zukunft erneut rechtswidrige Taten begehen wird. Es handelt sich also um eine Verhaltensprognose für diese spezielle Person“* [Bliesener 14, S.422]. Jede Kriminalprognose sieht sich grundsätzlich mit dem Problem konfrontiert, mit welcher Genauigkeit sich zukünftiges kriminelles Verhalten vorhersagen lässt, denn das menschliche Verhalten resultiert nun einmal nicht nur aus individuellen Persönlichkeitsmerkmalen, sondern wird ebenso durch verschiedenste situative Faktoren beeinflusst, die aufgrund ihrer Variabilität allenfalls vage abschätzbar sind [Bliesener 14, S.425f]. Da in dieser Arbeit jedoch davon Abstand genommen wird, den Determinismus des menschlichen Verhaltens näher zu analysieren, wird es bei der Feststellung belassen, dass eine hundertprozentige Vorhersagbarkeit auch mit heutigen kriminalprognostischen Mitteln grundsätzlich nicht garantiert werden kann.

Von der Richtigkeit dieser These zeugt auch der Baxstrom-Fall aus dem Jahr 1966, welcher über die USA hinaus für mediales Aufsehen sorgte und die Zuverlässigkeit der Gewaltprognose ins Zentrum der Kritik rückte.

Bei diesem unbeabsichtigten Experiment mussten aus formal-juristischen Gründen der Gewalttäter Johnnie Baxstrom sowie 967 weitere, als gefährlich eingeschätzte Straftäter, im Bundesstaat New York freigelassen werden. Nach insgesamt vier Jahren in Freiheit waren aber lediglich 14,2% der als gefährlich eingestuften Täter erneut straffällig geworden, darunter nur etwa 2,5% wegen schwerer Gewaltstraftaten, also der Taten, weswegen ihr Risiko als besonders hoch eingeschätzt worden war. Als Ergebnis dieses ungewollten Experiments lässt sich daher feststellen, dass die Rückfallquote jener Freigelassenen äußerst gering war [Oberfell-Fuchs 11, S.17][US Supreme Court 66].

Daraus resultierende Studien stellten Mitte der 1970-er Jahre bei der klinischen Gewaltprognose (zu den Methoden der Kriminalprognostik, siehe Kapitel 3) erhebliche Mängel und Schwierigkeiten fest [Monahan 75, Monahan 81], ohne die Methode allerdings grundsätzlich in Frage stellen zu wollen. Ziel war es vielmehr, Fehlerquellen zu ermitteln und durch rationale Handhabung sowie Einhaltung wissenschaftlicher Standards die aufgezeigten Mängel in der Gewaltprognostik zu verringern. Darüber hinaus wollte man die

Justiz auf die Grenzen der Leistungsfähigkeit prognostischer Instrumente aufmerksam machen [Monahan 96], denn die unbestrittenen Vorteile der nach wissenschaftlichen Standards entwickelten Gefahrenprognose für den juristischen Entscheidungsfindungsprozess gegenüber der früheren subjektiven Urteilsfindung eines Richters haben allgemein in der Praxis unrealistische Erwartungen an die tatsächlich aktuell mögliche Leistung von Prognosen geweckt, was einer dringenden Relativierung bedarf [Albrecht 04, S.475f].

1.2 Der Einzug der algorithmischen Entscheidungsfindung (ADM) in die Kriminalprognostik

In der heutigen digitalen Gesellschaft unterstützen und übernehmen algorithmische Prozesse, ADM („*algorithmic decision making*“ [Zweig 16]) genannt, zunehmend die Entscheidungsfindung in den verschiedensten Bereichen, auch in der Justiz. Das ‚ADM-Manifest‘ [Algorithm Watch 16] der 2016 gegründeten Bürgerinitiative ‚Algorithm Watch‘ differenziert folgende Aspekte als Bestandteil der algorithmischen Entscheidungsfindung:

- *Prozesse zur Datenerfassung zu entwickeln,*
- *Daten zu erfassen,*
- *Algorithmen zur Datenanalyse zu entwickeln, die die*
 - *Daten analysieren,*
 - *auf der Basis eines menschengemachten Deutungsmodells interpretieren,*
 - *automatisch handeln, indem die Handlung mittels eines menschengemachten Entscheidungsmodells aus dieser Interpretation abgeleitet wird.*

Während in den USA aufgrund des anders strukturierten Justizsystems schon seit längerem ADM-gesteuerte Kriminalprognosen eingeführt sind, steht die deutsche Justiz in dieser Hinsicht noch relativ am Anfang dieser Entwicklung, denn deutsche Gerichte nutzen derzeit noch keine ADM-Risikoprognosen. Insofern ist es ein zentrales Anliegen der vorliegenden Arbeit, eine Diskussion über Chancen und Risiken beim Einsatz algorithmenbasierter Risikoprognosen anzuregen. Die Gesellschaft sollte sich möglichst zeitnah der zentralen Frage widmen, inwieweit sie es zulassen will, dass Algorithmen Entscheidungen treffen, die wichtig für das Leben des Einzelnen sein können, denn Deutschland besitzt jetzt noch die einmalige Möglichkeit, aus den Erfahrungen anderer Länder zu lernen und als Gesellschaft den Umgang mit Algorithmen mitbestimmen zu können.

Im Folgenden wird daher zunächst ein kurzer Überblick über die Entwicklung der Kriminalprognostik in den USA gegeben (siehe Abschnitt 1.2.1), gefolgt vom Abschnitt 1.2.2 der knapp die Situation im deutschen Justizwesen in Bezug auf kriminalprognostische Gutachten skizziert.

1.2.1 Die Integration von ADMs in die kriminalprognostischen Instrumente im US-amerikanischen Justizwesen

Das Justizsystem der USA ist im Begriff zu kollabieren: Als Folge der etablierten Praxis, drakonische Strafen zur Abschreckung zu nutzen, sitzen derzeit in US-amerikanischen Gefängnissen knapp 2.15 Millionen Inhaftierte [statista 17a] ein. Das bedeutet, 20% aller weltweit Arrestierten befinden sich in US-amerikanischer Haft [Walmsley 14], obwohl das Land lediglich fünf Prozent der gesamten Weltbevölkerung stellt [statista 17b]. Die hohe Zahl von Gefängnisinsassen beschert den USA infolgedessen explodierende Kosten im Strafvollzug, sodass die Suche nach einer effizienten Kostenreduzierung ein zentrales Anliegen der US-amerikanischen Justiz ist.

Da sich die Standards der Haftbedingungen in den USA jedoch laut Amnesty International bereits am unteren Limit befinden [Amnesty International 13], lassen sich bei Unterbringung und Verpflegung keine weiteren Kosten einsparen [Heiser 13], sodass die zunächst reißerisch anmutende Schlagzeile der Süddeutschen Zeitung vom 23. August 2016 „Nudeln sind die neue Währung in US-Gefängnissen“ [Werner 16] bei näherer Betrachtung durchaus ihre Berechtigung³ besitzt. Auch andere Konzepte zur Kosteneinsparung erwiesen sich als Fehlschlag. Abgesehen von skurrilen anmutenden Vorschlägen wie aus dem Jahr 2009, dass Häftlinge finanziell selbst für ihren Gefängnisaufenthalt aufkommen könnten [Focus Online 09], zeigte sich längerfristig auch die Idee, Privatgefängnisse einzuführen, als unrentabel [n-tv 16]. Die Erkenntnis, zur Kosteneinsparung kostenintensive Haftstrafen auf Bewährung auszusetzen, ließ die Kriminalprognose zunehmend in den Fokus juristischer Überlegungen rücken. Darüber hinaus resultiert das vermehrte Interesse an geeigneten prognostischen Methoden zur Einschätzung des Rückfallrisikos auch aus den Diskussionen rund um den eingangs erwähnten Baxstrom-Fall aus dem Jahr 1966. Dieser Vorfall warf seinerzeit die Frage auf, ob man die Personen zu Unrecht in diese Anstalten eingewiesen habe und wie es zu der Fehleinschätzung kommen konnte. Seitdem wurde immer wieder eine genauere Einschätzung des Kriminalitätsrisikos gefordert, wenn es in die Urteilsfindung einbezogen wird. So sah sich die Bürgerrechtsvereinigung ACLU (*American Civil Liberties Union*) im Jahr 2011 zur Empfehlung veranlasst, durch eine genaue Datenanalyse das Risiko zu kalkulieren, ob Straftäter tatsächlich rückfällig und zu einer Gefahr für die Gesellschaft werden würden [Chettiar 11, S.11].

Mit Hilfe der ARAI, der ‚**A**ctual **R**isk **A**ssessment **I**nstruments‘⁴, meint die US-amerikanische Strafjustiz die Wahrscheinlichkeit einer potenziellen Rückfälligkeit bei Gewalttaten genauer ermitteln und eine vorurteilslose und neutrale Rechtsprechung erreichen zu können, deren Urteile frei von subjektiven und eventuell verzerrenden Einflüssen gefällt werden. Daher benutzt das US-Justizsystem in 9 US-Bundesstaaten seit Jahren Risikobewertungstools in verschiedenen Bereichen der Rechtsprechung [Angwin 16], wobei von den Behörden mancher US-Staaten, wie zum Beispiel Florida, hauptsächlich das von der US-Firma Northpointe Ende der 1990-er Jahre entwickelte COMPAS Assessment Tool (*Correctional Offender Management Profiling for Alternative Sanctions*) zum Einsatz kommt [Northpointe 12b]. Northpointe propagiert, mit Hilfe ihres Algorithmus ließe sich

³ „Ein Bericht von Amnesty International über Einzelhaft in den Bundesgefängnissen stellte fest, dass die Haftbedingungen im - bislang einzigen - Hochsicherheitsgefängnis, das dem US-Standard Super-Maximum Security entspricht, in Florence im Bundesstaat Colorado gegen die Standards einer humanen Behandlung von Gefangenen verstoßen.“ [Amnesty International 15]

⁴ zu deutsch: Bewertungsinstrumente für das tatsächliche Risiko

eine genaue Prognose der Rückfallwahrscheinlichkeit (predicted recidivism) eines Angeklagten erstellen [Brennan 09b], was gern geglaubt wird, zumal die Möglichkeit einer präzisen Bestimmung des zukünftigen Legalverhaltens eines Straftäters die Urteilsfindung wesentlich erleichtern würde.

1.2.2 Der Umgang der deutschen Justiz mit ADM gestützten Risikoprognosen

Anders als im US-amerikanischen Justizsystem gilt in der deutschen Rechtsprechung uneingeschränkt das ‚Individualisierungsgebot‘ [Maschke 08], sodass hier individuelle Kriminalprognosen zwingend vorgeschrieben sind. Individuelle kriminalprognostische Gutachten durch entsprechende Sachverständige müssen bei strafrechtlichen Entscheidungen in diversen Fällen mit einbezogen werden, nicht nur bei schweren Delikten oder bei der Beurteilung der (vorzeitigen) Entlassung eines verurteilten Täters aus einer freiheitsentziehenden Maßregel (§ 67d StGB). Gesetzlich konkret eingefordert und explizit im Gesetzestext vermerkt, werden individuelle Kriminalprognosen bei Entscheidungsfindungsprozessen, die bei Fehlurteilen eventuell mit dem Schutz der Öffentlichkeit vor Gewalttaten kollidieren. Etwaige Fehlurteile könnten hier zur Gefährdung des Lebens Unschuldiger führen, was gesellschaftlich hochbrisante Folgen haben könnte. Dementsprechend heißt es im § 57 StGB zur Aussetzung des Strafrestes bei einer befristeten Freiheitsstrafe ausdrücklich:

„Bei der Entscheidung sind insbesondere die Persönlichkeit der verurteilten Person, ihr Vorleben, die Umstände ihrer Tat, das Gewicht des bei einem Rückfall bedrohten Rechtsguts, das Verhalten der verurteilten Person im Vollzug, ihre Lebensverhältnisse und die Wirkungen zu berücksichtigen, die von der Aussetzung für sie zu erwarten sind.“⁵

Aufgrund oft mangelhafter Qualität und des besonderen Stellenwerts kriminalprognostischer Gutachten in der deutschen Justiz erarbeitete 2006 eine interdisziplinäre Expertengruppe von Richtern, Bundesanwälten, forensischen Psychiatern und Psychologen einen Katalog zu den „Mindestanforderungen für Prognosegutachten“ [Boetticher 07]. Es soll dem Sachverständigen das Erstellen der Gutachten erleichtern und legt dabei zentrale Kriterien fest: Das Gutachten hat sich „methodischer Mittel, die dem aktuellen wissenschaftlichen Kenntnisstand“ entspringen zu bedienen, es muss „transparent“ und „nachvollziehbar“ [Boetticher 07] sein. Obwohl die ‚Mindestanforderungen‘ ausdrücklich feststellen, dass im Gutachten „eine Wahrscheinlichkeitsaussage über das künftige Legalverhalten des Verurteilten“ [Boetticher 07] zu treffen ist, auf deren Basis das Gericht die Rechtsfrage zu beantworten hat, erwartet das deutsche Straf- und Prozessrecht von den prognostischen Gutachten ein derart hohes Maß an Bestimmtheit, dass „von einem fast naiven Vertrauen in die Leistungsfähigkeit von Prognosen“ [Albrecht 03, S.97] gesprochen werden kann und angesichts der vielfach nachgewiesenen Fehleranfälligkeit „ganz offensichtlich unrealistische Erwartungen an die Leistungsfähigkeit der Gefährlichkeitsprognose“ [Albrecht 03, S.122] hat.

Die zunehmenden Erwartungen in die Prognosefähigkeit wird durch die Änderung des Strafgesetzbuchs § 67d „Dauer der Unterbringung“ am 31. Januar 1998 deutlich. Hier änderte die Justiz die „Anforderungen an die Sicherheit der Prognose (...) bei der Entlassung aus dem Maßregelvollzug“ [Albrecht 03, S.121] wie in Tabelle 1.1 gezeigt.

⁵§ 57 StGB

16. März 1994 – 31. Januar 1998	31. Januar 1998 – heute
sobald verantwortet werden kann zu erproben , ob der Untergebrachte außerhalb des Maßregelvollzugs keine rechtswidrigen Taten mehr begehen wird	wenn zu erwarten ist , dass der Untergebrachte außerhalb des Maßregelvollzugs keine rechtswidrigen Taten mehr begehen wird

Tabelle 1.1: Teile der Veränderung des § 67d StGB ‚Dauer der Unterbringung‘ am 31. Januar 1998

Auch wenn die deutschen Gerichte noch keine ADM-Risikoprognosen [Lischka 17, S.7] nutzen, muss im Hinblick auf die Aufmerksamkeitsökonomie sowohl der Richter als auch Sachverständigen bedacht werden, dass die benötigten Gutachten zwar noch von menschlichen Experten verfasst und prognostiziert werden. Sollte jedoch eine Firma aus dem amerikanischen Raum die deutsche Justiz mit Argumenten der Effizienz und angeblicher Objektivität überzeugen können, ihre ADM-gestützten Prognose-Instrumente einzusetzen, kann sich diese Tatsache schnell ändern. Insofern könnten die im folgenden Abschnitt umrissenen Fragestellungen in nicht allzu ferner Zukunft auch in Deutschland von hoher Brisanz sein.

1.3 Ziele der Arbeit

Wenn sich eine Gesellschaft in einem derart relevanten Bereich wie der Justiz in ihrer Urteilsfindung auf algorithmenbasierte Risikoprognosen verlässt, so muss deren Evaluation ein zentrales Anliegen sein. Nach einer Überführung der Kriminalprognose in das mathematische Modell eines binären Klassifikators werden in dieser Arbeit dessen generelle Überprüfbarkeit statistisch ausgelotet und klassische Evaluationsstrategien vorgestellt (Kapitel 2).

Die vorliegende Arbeit verfolgt daraufhin das Ziel, den aktuellen Stand um die Beurteilung von ADM-Prozessen im kriminalprognostischen Bereich zu erfassen, wobei zuvor ein historischer Abriss über die Entwicklung eben dieser Instrumente gegeben wird (Kapitel 3). Das Qualitätsmaß, welches sich herauskristallisiert, ist die sogenannte „Area under the Receiver Operating Characteristic“ (AUC). Diese ist ein im maschinellen Lernen häufig verwendetes Maß, das ohne ersichtlichen Grund immer weitere Anwendung findet.

Da sich herausstellt, dass der „Positive Predictive Value“ (PPV_k), als weitere Möglichkeit, einen solchen Klassifikator zu bewerten, dem richterlichen Entscheidungsprozess deutlich gerechter wird, nimmt sich die Arbeit dann der Frage an, wie weit diese beiden Werte für einen Klassifikator voneinander abweichen können (Kapitel 4).

Abschließend wird die hierbei aufgezeigte Diskrepanz zwischen den beiden Qualitätsmaßen an einem realen Datensatz aus den USA für das sogenannte COMPAS-Tool, ein kriminalprognostisches Instrument der vierten Generation, nachgewiesen (Kapitel 5), mögliche gesellschaftliche Folgen angerissen sowie Handlungsempfehlungen verfasst (Kapitel 6).

2. Binäre Klassifikatoren und ihre Beurteilung

Für die anstehende Überprüfung der kriminalprognostischen Instrumente ist es notwendig, einige Fachbegriffe sowie deren Herkunft zu klären. Viele Fragestellungen, die mit Tools aus der Kriminalprognose beantwortet werden, führen zu dualen Entscheidungen. Zwar bauen die Algorithmen des „maschinellen Lernens“ mehr oder minder komplexe Entscheidungsstrukturen auf, aber die Frage, die den Richter beschäftigt und für welche er das Instrument zu Rate zieht, sind binärer Natur, wie zum Beispiel: *Wird der Straftäter X rückfällig oder nicht, begeht Person Y ein weiteres Gewaltverbrechen — ja oder nein?* Somit münden die hier Anwendung findenden ADMs in Entscheidungsoperatoren, welche zwischen zwei Klassen entscheiden können. Folglich werden sie im Zuge dieser Arbeit als binäre Klassifikatoren bezeichnet.

Das vorliegende Kapitel beabsichtigt zunächst, die hier zugrunde gelegte Definition binärer Klassifikatoren wiederzugeben. Im Anschluss wird erläutert, wie diese evaluiert werden, also wie entschieden werden kann, wie gut sie ihrer Aufgabe gerecht werden.

2.1 Definition ‚binärer Klassifikator‘

Bei dem Begriff ‚binärer Klassifikator‘ greift diese Arbeit auf eine Umsetzung zurück, die sich an folgender Definition orientiert:

Ein Klassifikator ist eine Zuordnungsvorschrift $x \rightarrow f(x)$ mit $x \in \mathbb{R}^N$, dem Informations- bzw. Merkmalsvektor und $f(x) \in \mathbb{Z}$ dem Klassifikationsergebnis [Hengen 04].

Ein Klassifikator ordnet also Objekte oder Datenpunkte anhand bestimmter Merkmale verschiedenen Eigenschaftsgruppen zu, den sogenannten Klassen. Aufteilungen in genau zwei Klassen werden somit durch einen binären Klassifikator umgesetzt, der für ein gegebenes Element entscheidet, ob es zu Klasse 1 oder Klasse 2 gehört.

Eine in dieser Arbeit betrachtete Umsetzung $C(E, f, S_f, \tau)$ ermittelt für eine gegebene Menge E mit $n := |E|$ Elementen, ob ein Element zur ersten Klasse (*class 1*) oder zur

zweiten Klasse (*class 2*) gehört. Sie besteht aus einer reellwertigen Bewertungsfunktion $f : E \rightarrow \mathbb{R}_0^+$, auch Scoringfunktion genannt, um Elemente einem Wert zuzuordnen, welche die Zugehörigkeit zu Klasse 1 widerspiegeln soll, einer bijektiven Sortierfunktion $S_f : E \rightarrow \{1, 2, \dots, n\}$ und einem Parameter τ .

Nachdem alle Elemente durch die Scoringfunktion bewertet wurden, werden die Elemente in einer Liste durch die Sortierfunktion S_f absteigend sortiert, sodass also für $e_i, e_j \in E$, für die $f(e_i) < f(e_j)$ gilt, auch $S(e_i) < S(e_j)$ gilt. Anhand des mitgelieferten τ entscheidet nun der Klassifikator, welche Elemente eine Bewertung größer und kleiner τ erhalten haben und unterteilt die Liste in genau zwei Bereiche. Elemente ($\geq \tau$) erhalten das Label ‚(*class 1*)‘ und ($< \tau$) ‚(*class 2*)‘.

Die Vorhersage eines binären Klassifikators ist zwar im Einzelfall eine binäre Entscheidung, um jedoch Aussagen über die Qualität oder Güte treffen zu können, bedarf es einer statistischen Auswertung. Murphy und Winkler haben hierzu in ihrem Artikel „*A general framework for forecast verification*“ [Murphy 87] gezeigt, dass sich die Wahrscheinlichkeitsverteilungen in Bezug auf Prognose und Beobachtung als sinnvoll erweisen. Meist wird hierzu eine Menge von Elementen, für welche die Klassenzugehörigkeit a priori gegeben ist (Ground-Truth), durch den binären Klassifikator klassifiziert und anhand verschiedener Indizes Aussagen über die Qualität der Vorhersage getroffen.

Um das Thema der Rückfälligkeitvorhersage aufzugreifen, würde man einen Algorithmus, der eine Vorhersage über die Zuordnung zu der Klasse „hohes Rückfallrisiko“ bzw. „niedriges Rückfallrisiko“ trifft, mit einer Ground-Truth überprüfen. Da dies in diesem Fall ein historischer Datensatz wäre, von dem bekannt ist, welche Personen rückfällig geworden sind und welche nicht, könnte man bewerten, wie gut die getroffenen Prognosen zutrafen.

2.2 Einführung in die statistischen Gütekriterien

An einem binären Klassifikator zur Vorhersage einer individuellen Rückfälligkeitswahrscheinlichkeit, welcher in die zwei Klassen „hohes Rückfallrisiko“ (*class 1*) und „niedriges Rückfallrisiko“ (*class 2*) aufteilt, ließen sich unter Zuhilfenahme einer Ground-Truth-Menge folgende vier verschiedenen Fälle identifizieren. Dem medizinischen Milieu entspringend (vgl. [Potapov 12, S.10]) haben sich folgende Fachbegriffe etabliert:

- **true positive** (t_p): Die Person wird als potenziell rückfällig eingeschätzt und ist rückfällig geworden.
- **false positive** (f_p): Die Person wird als potenziell rückfällig eingeschätzt und ist nicht rückfällig geworden.
- **false negative** (f_n): Die Person wird als nicht rückfällig eingeschätzt und ist rückfällig geworden.
- **true negative** (t_n): Die Person wird als nicht rückfällig eingeschätzt und ist nicht rückfällig geworden.

Die entstehenden relativen Häufigkeiten werden meist, wie in Abbildung 2.1 gezeigt, in einer Wahrheitsmatrix, auch Konfusionsmatrix genannt [Bradley 97], abgebildet.

Diese relativen Häufigkeiten bilden zwar schon erste Kennzahlen für die Güte eines binären Klassifikators, jedoch werden sie meist noch in Wahrscheinlichkeiten umgerechnet.

	Person wird tatsächlich rückfällig. ($t_p + f_n$)	Person wird tatsächlich nicht rückfällig. ($f_p + t_n$)
Klassifikationsergebnis: Person wird rückfällig. ($t_p + f_p$)	true positive (t_p)	false positive (f_p)
Klassifikationsergebnis: Person wird nicht rückfällig. ($f_n + t_n$)	false negative (f_n)	true negative (t_n)

Abbildung 2.1: Konfusionsmatrix des vorgestellten binären Klassifikators

Um nun erweiterte Fragestellungen zu beantworten, bedarf es komplexerer statistischer Kennziffern. Diese können zum Beispiel intuitiv über die Größe der gesamten Stichprobe ($n = |E|$, Grundgesamtheit) normalisiert werden, woraus sich unter anderem die folgenden Kennziffern ergeben [Bradley 97]:

- **Accuracy** (Genauigkeit), als der Anteil der korrekt kategorisierten Elemente an der Grundgesamtheit ($\frac{t_p + t_n}{n}$)
- **Error rate** (Fehlerrate), als der Anteil der falsch kategorisierten Elemente an der Grundgesamtheit ($\frac{f_p + f_n}{n}$)
- **Prevalence** (Prävalenz), als der Anteil der als positiv kategorisierten Elemente an der Grundgesamtheit ($\frac{t_p + f_p}{n}$)

Da vor allem bei unbalancierten Klassen, also $|class\ 1| \ll |class\ 2|$ oder $|class\ 1| \gg |class\ 2|$, die Grundgesamtheit als Normalisierungsfaktor nicht immer sinnvoll ist, werden die verschiedenen Anteile jeweils auch durch die Anzahl der positiven/negativen Testergebnisse sowie Klassengrößen der Ground-Truth geteilt, um so, den Anwendungsfragen entsprechend, Aussagen über diese speziellen Anteile treffen zu können, wie im Folgenden anhand einiger klassischer Maße aufgezeigt wird. Ein sehr bekanntes Begriffspaar aus diesen Reihen, die ‚Sensitivität‘ und ‚Spezifität‘, werden im folgenden Abschnitt näher beleuchtet.

2.3 Sensitivität und Spezifität

Da sich die historischen Ursprünge der ‚Sensitivität‘ sowie der ‚Spezifität‘ nicht mehr eindeutig bestimmen lassen, wird in dieser Arbeit die folgende konsensuale Definition verwendet, wobei die verwendete Notation sowohl in der Biologie als auch der Informatik im Bereich des maschinellen Lernens geläufig ist [Mohabatkar 13]. Bei der Sensitivität wird die sogenannte ‚Richtig-Positiv-Rate‘ (RPR) gemessen, also der Anteil korrekt positiv kategorisierter Elemente (t_p) an der Menge aller tatsächlichen ($class\ 1$) Elemente ($t_p + f_n$) [Altman 94, Bradley 97], die sich dem Beispiel entsprechend, als die folgende bedingte Wahrscheinlichkeit darstellen lässt:

$$Sensitivität = P(\text{Klassifikator sagt rückfällig} | \text{Person wird rückfällig}) = \frac{t_p}{t_p + f_n}$$

Die Spezifität dagegen wird auch als ‚Falsch-Negativ-Rate‘ (FNR) bezeichnet. Da hier die fälschlicherweise positiv kategorisierten Elemente (f_p) gegen alle ($class\ 2$) Elemente

$(t_n + f_p)$ [Altman 94, Bradley 97] abgewägt werden, lässt sich die Spezifität erneut dem Beispiel entsprechend als folgende bedingte Wahrscheinlichkeit darstellen:

$$\text{Spezifität} = P(\text{Klassifikator sagt rückfällig} | \text{Person wird nicht rückfällig}) = \frac{f_p}{t_n + f_p}$$

Die Auswertung der Sensitivität und Spezifität gilt vor allem in der Medizin als wichtiges Maß zur Bewertung von Laborergebnissen. Honest und Kahn zeigten 2002, dass 72 % der Autoren in den 90 analysierten Primärstudien aus den Jahren 1994-2000 auf eine Auswertung der Sensitivität und Spezifität als Gütekriterium ihrer Arbeit zurückgegriffen haben [Honest 02]. Die Verbindung zur Informatik zieht in diesem Zusammenhang das Forschungsgebiet ‚*Information Retrieval*‘ (IR), das sich mit der Informationsgewinnung aus großen Datensätzen (vgl. [van Rijsbergen 79, Singhal 01]) beschäftigt. Hier hat sich für den Begriff der Sensitivität der im folgenden Abschnitt betrachtete Recall etabliert.

2.4 Precision und Recall

Bei der Analyse und Bewertung von Suchanfragen in einer großen Menge Dokumente hat sich im IR als grundlegendes Gütekriterium das Begriffspaar ‚*Precision*‘¹ und ‚*Recall*‘² herauskristallisiert. Der Anteil aller relevanten Dokumente im Suchergebnis (t_p) in Bezug zu allen selektierten Dokumenten einer Suchanfrage ($t_p + f_p$) wird als *Precision* bezeichnet:

$$\text{Precision} = \frac{t_p}{t_p + f_p} \text{ [Manning 99, S.268]}$$

Setzt man den Anteil aller relevanten Dokumente im Suchergebnis (t_p) in Relation mit allen für die Suchanfrage interessanten Ergebnissen ($t_p + f_n$), erhält man den sogenannten Recall, der sich also durch folgende Formel berechnen lässt:

$$\text{Recall} = \frac{t_p}{t_p + f_n} \text{ [Manning 99, S.269]}$$

2.5 F1-Score

Da vor allem im ‚Natural Language Processing‘ (NLP) und IR großer Wert auf ein eindimensionales Evaluationskriterium gelegt wird [Goutte 05], hat sich das harmonische Mittel von ‚*Precision*‘ und ‚*Recall*‘ unter dem Begriff ‚F1-score‘ als weitere Evaluationsmöglichkeit etabliert:

$$F_1 = \frac{2 \cdot \text{Precision} \cdot \text{Recall}}{\text{Precision} + \text{Recall}} \text{ [Aggarwal 15, S.340] [Manning 99, S.269]}$$

Dieses kombinierte Maß bietet einen gleichwertigen Einfluss von ‚*Precision*‘ und ‚*Recall*‘ auf den Evaluationsprozess. Dies ist wichtig, denn eine gute Suche sollte alle relevanten Dokumente finden (hoher ‚*Recall*‘) und im gefundenen Datensatz eine hohe Dichte an wichtigen Dokumenten aufweisen (hohe ‚*Precision*‘). Sollte eine andere Gewichtung gewünscht sein,

¹Genauigkeit oder positiver Vorhersagewert

²Trefferquote

so sei an dieser Stelle auf den Ursprung des F1-score verwiesen, denn bereits 1979 führte van Rijsbergen das sogenannte „Effektivitätsmaß E “³ mit

$$E = 1 - F \text{ und } F = \frac{1}{\alpha \cdot \frac{1}{Precision} + (1 - \alpha) \cdot \frac{1}{Recall}}, \alpha \in [0, 1]$$

ein, um eine freie Skalierung des Einflusses der beiden Maßzahlen zu schaffen. Sollte $\alpha = 0$ gewählt werden, verhält sich F wie der Recall und für $\alpha = 1$ entspricht es der Precision. Für $\alpha = 0.5$ erhält man einen ausgewogenen Einfluss von Precision und Recall und die oben angeführte Formel für den $F1 - score$.

2.6 Area under the Receiver Operating Characteristic (AUC)

Eine weitere Evaluierungsmöglichkeit für binäre Klassifikatoren resultiert aus der ‚Receiver Operating Characteristic‘ (in der Psychologie und Statistik teilweise auch ‚Relative Operating Characteristic‘ genannt, vgl. [Beck 86]).

Hierbei werden für verschiedene Schwellenwerte τ eines binären Klassifikators und seiner reellwertigen Bewertungsfunktion f die Sensitivität und Falsch-Positiv-Rate ($FPR = 1 - \text{Spezifität}$) gegeneinander abgetragen, wobei die FPR als Abszisse und die Sensitivität als Ordinate gewählt wird [Aggarwal 15, S.340f][Bradley 97, S.2][Peterson 54]. Die Betrachtung der sogenannten „Area under the Receiver Operating Characteristic“ (im Folgenden AUC genannt) ist in der Medizin und anderen Wissenschaften weit verbreitet. Vor allem für Metaanalysen wiesen 2002 Honest und Kahn eine Nutzungsquote von 73 % [Honest 02] dieser grafischen Auswertung der Sensitivität und Spezifität nach.

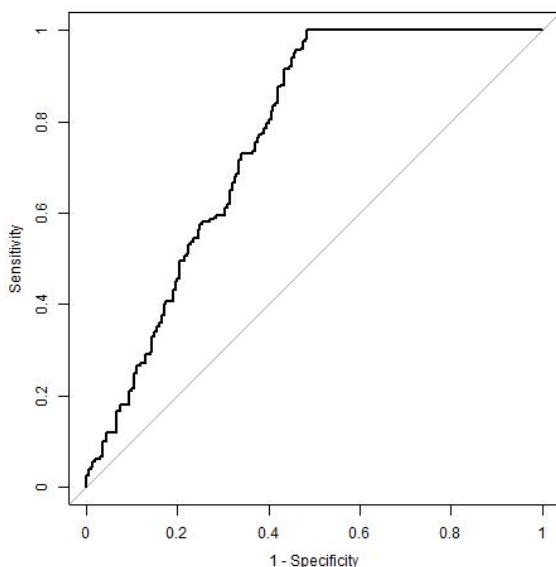


Abbildung 2.2: Darstellung der AUC für einen binären Klassifikator

Hierbei wird die Fläche unter der ROC Kurve herangezogen, um so Aussagen über die

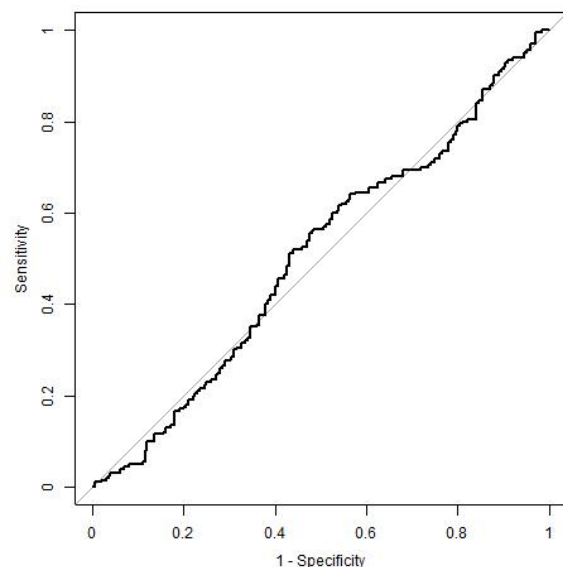


Abbildung 2.3: Darstellung der AUC eines zufallsnahen binären Klassifikator

³„*E measure*“ (vgl. [Manning 99, S.269])

Trennschärfe der Klassifizierung treffen zu können, also wie zuverlässig kann der Klassifikator zwischen Elementen der beiden Klassen unterscheiden.

Wie in Abbildung 2.2 zu erkennen ist, wird häufig die Achsendiagonale eingezeichnet, da diese als Sinnbild für eine zufällige Klassifizierung als Maßstab genutzt wird, um die Qualität der abgetragenen Ergebnisse korrekt zu interpretieren. Sollte sich eine ROC-Kurve an dieser Diagonalen (vgl. Abbildung 2.3) orientieren, der Klassifikator also für verschiedene τ eine gleich große Trefferquote (Sensitivität) sowie **F**alsch-**P**ositiv-**R**ate (FPR) aufweisen, kann er nicht besser separieren als eine zufällige Zuordnung, welche die Elemente mit gleicher Wahrscheinlichkeit einer der beiden Klassen zuweist. Dort wären Trefferquote und FPR ebenfalls gleich hoch.

Wenn die Kurve jedoch deutlich unter dieser Diagonalen liegt, lässt sich durch Umbenennen der beiden Klassen die Klassifizierung anpassen, weshalb die Diagonale die schlechteste Klassifizierung darstellt.

Bei der Betrachtung von binären Klassifikatoren lässt sich die AUC zusätzlich als die Wahrscheinlichkeit interpretieren, in einer zufälligen Stichprobe, bestehend aus je einem Element beider Klassen, dem Element der ersten Klasse eine höhere Wahrscheinlichkeit zuzuordnen zu dieser zu gehören [Hanley 82, S.2]. Dieses Maß bildet also die Wahrscheinlichkeit ab, gegeben ein Element der Zielklasse (*class 1*) und ein Element der anderen Klasse (*class 2*), durch die Scoringfunktion f , des Klassifikators, dem (*class 1*) Element ein höheres Gewicht zuzuweisen als dem (*class 2*) Element.

Im Rahmen von Prognosen versteht man unter der Basisrate „den theoretischen Anteil derjenigen Personen innerhalb der relevanten Population, für den das zu prognostizierende Ereignis eintreffen wird“ [Bliesener 14, S.426]. Als parameterloses Maß hat die AUC den Vorteil, nicht nur für eine spezielle Basisrate, also fixierte Klassengröße, eine Aussage über die Güte der Klassifizierung treffen zu können.

2.7 Positive Predictive Value und der PPV_k

Ein besonderes Augenmerk wird in dieser Arbeit auf den sogenannten „*positive predictive value*“ (kurz: PPV) gelegt, welcher die korrekt positiv (t_p) klassifizierte Elemente mit der Anzahl aller positiv kategorisierten Elemente ($t_p + f_p$) normalisiert (vgl. [Aggarwal 15, S.340]):

$$PPV = \frac{t_p}{t_p + f_p} \quad [\text{Mohabatkar 13, Beigi 11}]$$

Dieses Maß findet hauptsächlich im medizinischen Umfeld Anwendung und wird dort in der Evaluation neuer Therapien, Medikamenten und Verfahren genutzt. Als bekanntes Beispiel sei hier nur die Brustkrebsvorsorge (im Speziellen der Mammographie) angeführt, welche maßgeblich über dieses Qualitätskriterium evaluiert wird [Kerlikowske 93, Burrell 96].

Der PPV wird in den unterschiedlichsten informatiknahen Bereichen, wie zum Beispiel als Precision im Information Retrieval (vgl. Kapitel 2.4), angewendet und stellt ein Gütekriterium dar, das den Anteil an korrekten Ergebnissen zu allen zurückgelieferten ins Verhältnis setzt, hierfür jedoch die Basisrate, also die jeweiligen Klassengröße benötigt. Um einen binären Klassifikator mit diesem Qualitätsmaß zu bewerten, muss das τ passend gewählt sein. Wenn der Klassifikator $\tau = |class 1| = k$ wählt, wird über den PPV_k überprüft, welcher Anteil an (*class 1*) Elementen in den ersten k Elementen, der aus dem Klassifikator resultierenden Liste liegen. So kann die in der Ground-Truth vorliegende Basisrate an (*class 1*) Elementen genutzt werden, um das benötigte Verhältnis

zu errechnen. In der Netzwerkanalyse zum Beispiel wird versucht, das ‚link prediction problem‘ für Klassifikatoren zu evaluieren, bei denen das τ als Größe der Klasse 1 gewählt wurde [Liben-Nowell 03, Horvát 12].

Auf den generellen Transfer dieser Methodik in den Bereich des maschinellen Lernens wird an dieser Stelle nicht näher eingegangen, jedoch bietet der PPV_k eine Möglichkeit, den Fokus auf die tatsächliche Anzahl korrekt klassifizierter Objekte im vorderen Bereich der Sortierung zu legen und dabei fast vollständig auf eine Betrachtung der genauen Sortierung der Elemente zu verzichten. Einzig und allein die Eigenschaft „ist unter den ersten k “ ist hier relevant, weshalb er sich von seiner Bewertungsnatur besser an dem Entscheidungsprozess eines Richters orientiert. Dies wird in Kapitel 4 genauer betrachtet.

3. Entwicklung der standardisierten Prognoseinstrumente zur Rückfälligkeitsanalyse und des ‘State of the Art‘ ihrer Beurteilung

Das vorliegende Kapitel beabsichtigt zunächst, die drei unterschiedlichen Methoden vorzustellen, derer sich ein Prognostiker grundsätzlich bedienen kann. Auf ein Abwägen der jeweiligen Vor- und Nachteile wird hier verzichtet, da der lange geführte ‚Methodenstreit‘ heutzutage kaum noch von Relevanz ist. Anschließend soll ein kurzer Abriss einen knappen Überblick über die historische Entwicklung der standardisierten Prognoseinstrumente zur Rückfälligkeitsanalyse geben. Eine abschließende Betrachtung der als ‚State of the Art‘ geltenden *AUC* in Bezug auf die Beurteilung von ADM-gestützten Prognoseinstrumenten rundet die historische Betrachtung in diesem Feld ab.

3.1 Methoden der Kriminalprognose

Seit der Veröffentlichung von „Clinical versus statistical prediction“ [Meehl 54] von Paul Everett Meehl im Jahre 1954 differenziert die einschlägige Fachliteratur üblicherweise drei Strategien kriminalprognostischer Herangehensweisen, die jedoch in der beschriebenen idealtypischen Ausprägung in der Realität nicht zu finden sind. Da sie sich in der Praxis stark überschneiden [Dahle 06], ist die folgende folgende Unterscheidung „allenfalls ein Ordnungsversuch“ [Kröber 99].

Die intuitive Methode

Diese Methode ist zwar das wissenschaftlich am wenigsten fundierte, in der Praxis aber sicherlich am häufigsten benutzte Prognoseverfahren, da wohl die meisten Gerichtsurteile nach der ‚intuitiven Methode‘ des jeweiligen Richters gefällt werden und die Qualität des Urteils von der richterlichen Erfahrung und Fachkompetenz abhängt. Das prognostische Urteil basiert auf keiner expliziten Theorie, sondern auf gefühlsmäßiger Erfassung und globaler Eindrucksbildung vom Beschuldigten. Somit ist es weder überprüfbar noch transparent, sodass man im Prinzip von keiner Methode sprechen kann. Volckart bezeichnet diese Art des Vorgehens daher auch treffend als Gegenteil einer Methode [Volckart 97].

Die statistische Methode

Die Entwicklung der statistischen Methode war die logische Konsequenz der intuitiven, sodass die Prognose nun auf einer vollständig regelgeleiteten Beurteilung einer Person basiert. Durch empirisch-statistische Vergleiche Rückfälliger und nicht Rückfälliger wurden einige Risikofaktoren ermittelt, die Durchschnittszusammenhänge zwischen Risikoprofil und späterer Legalbewährung abbilden und in Prognosetafeln zusammengefasst wurden. Im konkret zu beurteilenden Einzelfall wird der Beschuldigte dann einer Risikogruppe von mehr oder weniger Gefährlichen zugeordnet, sodass die Prognose quasi auf der Rückfallquote dieser Gruppe basiert, die aus der Konstitutionsstichprobe bekannt ist (vgl. [Döbele 13, S.17]).

Die entscheidende Schwäche dieser Methode liegt im statischen Persönlichkeitskonzept, welches mögliche Wandlungen des Charakters in der Prognose nicht berücksichtigt. Ein weiterer Vorwurf bezieht sich auf die fehlende theoretische Basis [Rettenberger 13, S.21].

Die klinische Methode

Ziel der klinischen Prognose ist es, „ein Erklärungskonzept für die Handlungen des Betreffenden und deren jeweilige Voraussetzungen und Bedingungen zu gewinnen, das auf der Grundlage theoretisch fundierter und empirisch abgesicherter Zusammenhänge fußt“ [Dahle 97].

Der grundlegende Unterschied zur statistischen Methode besteht in der vom Einzelfall abhängigen Gewichtung der Faktoren. Das Urteil fußt insofern auf keinem festen Algorithmus.

Heutzutage favorisiert man bei prognostischen Stellungnahmen eine Verbindung der statistischen und klinischen Prognose. Man versucht, die jeweiligen Vorteile möglichst aufzugreifen und die beiden Methoden ohne die spezifischen Nachteile zu kombinieren. Nedopil [Nedopil 05, S.196] rät, bei einem Prognosegutachten auf keine der drei Prognosemethoden zu verzichten.

3.2 Vorstellung der vier Generationen standardisierter Prognoseinstrumente zur Rückfälligkeitsanalyse

2008 zählte Guy [Guy 08], dass in den vorhergehenden 50 Jahren 457 Verfahren zum ‚risk assessment‘ (Risikobeurteilung) entwickelt wurden. Angesichts der Fülle von Prognoseinstrumenten über den langen Zeitraum wird in der Fachliteratur häufig eine Einordnung der Verfahren in verschiedene ‚Generationen‘ vorgenommen, die allerdings von Autor zu Autor differiert [Döbele 13, S.20-26][Rettenberger 13, S.21f].

Für die ersten drei Generationen wird der ausführlichen Darstellung von A.-L. Döbele [Döbele 13, S.20-26] gefolgt, für die von Döbele nicht behandelte vierte Generation den Ausführungen von Rettenberger et al. [Rettenberger 13, S.21f].

Instrumente der ersten Generation

Wie eingangs bereits erwähnt, wurden die ersten Prognoseinstrumente im Bestreben, die Kriminalprognose auf eine wissenschaftlich überprüfbare Basis zu stellen, Anfang des 20. Jahrhunderts in den USA entwickelt. Im Jahr 1928 veröffentlichte Ernest W. Burgess [Burgess 28] eine der ersten Prognosetafeln, die jahrelang das am häufigsten gebrauchte Prognoseinstrument der USA war [Schneider 67].

Aus Akten von 3.000 entlassenen Straftätern extrahierte er 21 rückfallrelevante Faktoren. Im Gegensatz zu heutigen Prognoseverfahren verteilte Burgess ‚Gutpunkte‘ für jede positive Abweichung von der durchschnittlichen Rückfallerwartung, sodass seine Tafel nicht der Vorhersage der Rückfälligkeit dient, sondern die Wahrscheinlichkeit angibt, nicht rückfällig zu werden. Diese Art der Prognostik setzte sich jedoch nicht durch.

1936 wurde die erste Prognosetafel in Deutschland von Robert Schiedt [Schiedt 36] entwickelt. Er extrahierte 15 rückfallrelevante Faktoren aus einer Gruppe von 500 Häftlingen. Für jedes vorliegende Merkmal wurde jeweils ein ‚Schlechtpunkt‘ ohne weitere Gewichtung vergeben. Je höher die Punktzahl, desto größer war das Rückfallrisiko, was Schiedt durch Prozentpunkte anzeigte. Die Prognosetafel von Fritz Meyer [Meyer 59] wurde 1959 entwickelt und in Deutschland noch bis 1990 verwendet [Döbele 13, S.24].

Die prozentuale Berechnung der Rückfallwahrscheinlichkeit durch die Anzahl der ‚Schlechtpunkte‘ ist auch heute noch ein gebräuchliches Verfahren [Döbele 13, S.25], während die Liste der hier noch ausschließlich statischen und unveränderbaren Merkmale von der folgenden Generation erweitert wurde.

Instrumente der zweiten Generation

Bei diesen Instrumenten wurden die Merkmale um anamnestische Daten erweitert und personen- sowie tatbezogene Merkmale einbezogen. Die empirisch ermittelten Rückfallprädiktoren wurden in eine Prognoseformel übersetzt, die mittels der Akten des Straftäters eine schnelle und einfacher Handhabung des Instruments erlaubt, etwaige Wandlungen der Täterpersönlichkeit hingegen nicht erfasst.

Der von dem Kanadier Karl Hanson und dem Briten David Thornton 1999 entwickelte ‚Static 99‘ gilt als Instrument der zweiten Generation und wurde speziell zur empirischen Ermittlung der Rückfallwahrscheinlichkeit von Sexualstraftätern entwickelt. Es zählt in

dem Bereich zu dem am häufigsten verwendeten Instrument zur Einschätzung des Rückfallrisikos (vgl. [Döbele 13, S.49 f]).

Die Gründe hierfür liegen wahrscheinlich an der Benutzerfreundlichkeit und den geringen Anforderungen, die es an den Anwender stellt, da die erforderlichen Faktoren ohne psychologisches Hintergrundwissen und ohne persönliches Gespräch mit dem Täter zu ermitteln sind. Dies führt allerdings zum Hauptkritikpunkt, nämlich dass ausschließlich statische, unveränderliche Fakten ermittelt werden, die etwaige Veränderungen des Risikopotenzials nicht erfassen. Dittmann fasst daher zutreffend zusammen, dass der Straftäter bei Anwendung der Instrumente dieser Generation „zum Gefangenen seiner Biographie“ [Dittmann 03] wird.

Instrumente der dritten Generation

Wissenschaftliche Entwicklungen der 90er Jahre des letzten Jahrhunderts führte die Kriminalprognostik zur dritten Generation von Prognoseinstrumenten, indem zunehmend dynamische Merkmale herangezogen wurden. Die Datenbasis wurde so um grundsätzlich veränderbare Faktoren, wie zum Beispiel „persönliche Einstellung der Straftäter, Persönlichkeitszüge, seine soziale Bindungen oder die Art seiner Freizeitgestaltung“ [Döbele 13] erweitert. Da hierbei meist bereits aufwändige Interviews mit einem ausgeklügelten Fragekatalog geführt werden müssen, ist die Tendenz in Richtung des klinischen Beurteilungskonzepts innerhalb der Instrumente erkennbar [Dahle 06].

Das „Historical-Clinical-Risk Management-20“ (HCR-20) wurde 1995 von dem Kanadier Webster *et al.* [Webster 97] auf der Grundlage eines nur 75 Personen umfassenden Datensatz erarbeitet, entwickelte sich aber nichtsdestotrotz bis heute zu einem der „international bekanntesten Prognoseinstrumente“ [Döbele 13]. Während dieses Tool zwar auf 10 historische, nicht veränderbare Eigenschaften des Beurteilten zurückgreift, sind die restlichen 10 sogenannte Risikovariablen, die sich einer klinischen Beurteilung ähnlich aus dem persönlichen Umfeld und Verhalten der Person ergeben. Das Interesse der deutschen Justiz an solchen aktuarischen Prognoseinstrumenten wird deutlich an der zeitnahen Übersetzung ins Deutsche im Jahre 1998 [Müller-Isberner 98].

Instrumente der vierten Generation

Instrumente der vierten Generation gehören zur letzten Stufe und stellen somit den aktuellsten Stand der Kriminalprognostik dar. Sie sehen ein breites Band an Einsatzmöglichkeiten für verschiedenste Prognosebereiche vor. Zum einen fließen immer mehr variable Aspekte in den Beurteilungsprozess ein, zum anderen beschränken sich die Tools nicht mehr nur auf Risikoprognosen von Verhaltensweisen, sondern bieten Empfehlungen für Therapiepläne und Therapieplatzvergabe an und können sogar Aussagen darüber machen, ob ein Straftäter vor Gericht erscheinen wird oder nicht (vgl. z.B. [Northpointe 12b]).

Eine Firma, die aktuell ein weitverbreitetes Vorhersageinstrument der vierten Generation entwickelt hat, ist die Firma Northpointe Inc. aus den USA. Sie hat 1998 begonnen, das COMPAS Assessment Tool (Correctional Offender Management Profiling for Alternative Sanctions) zu entwickeln, welches als eins der besten Systeme seiner Art gilt [Andrews 06, S.8].

Wie bei allen Instrumenten der vierten Generation stellt die geringe Transparenz der Algorithmen und die daraus resultierende fehlende Einsicht in den Bewertungsprozess auch

beim COMPAS Assessment Tool ein großes Problem dar. Mögliche Überprüfungsstrategien wären sogenannte ‚Blackbox‘-Analysen, die eigentlich aus der Softwareentwicklung stammen (vgl. [Beizer 95]). Hierbei wird ohne Kenntnisse über die innere Funktionsweise der Algorithmen versucht, die tatsächlichen Ergebnisse mit denen zu überprüfen, die erwartet werden würden.

Eine 2016 von ProPublica, einer durch Spenden finanzierte US-Rechercheorganisation, vorgelegte Studie wies für das COMPAS Assessment Tool eine dramatische Ungleichbehandlung von Schwarzen und Weißen nach [Angwin 16]. Die Antwort aus dem Hause Northpointe [Dieterich 16] begründet die festgestellten Ergebnisse mit der Nutzung eines anderen Fairnesskriteriums und zeigt so den sehr weiten Modellierungsrahmen auf, dem solche Instrumente unterliegen.

Deshalb ist es wichtig, den abschließenden Bewertungsprozess dieser Algorithmen zu beleuchten, um einschätzen zu können, ob und wann ein solches ADM zur Beurteilung von Menschen, und dazu in einem für die Betroffenen essenziellen Bereich wie in der Justiz, eingesetzt werden sollte.

Im folgenden Abschnitt wird daher der historische Werdegang der AUC betrachtet, die im Allgemeinen als Bewertungsmaßstab solcher Klassifikatoren gilt.

3.3 State of the Art — Wo und wie wird die AUC verwendet

Eine der ersten Anwendungen der AUC als Evaluationsmöglichkeit von binären Entscheidungen geht auf die Signalentdeckungstheorie von David M. Green und John A. Swets [Swets 64] zurück. Eine Ursache für den Beginn dieser Forschungen war der fatale Flugzeugangriff auf Pearl Harbor im Jahre 1941, bei dem sowohl auf maschineller als auch menschlicher Ebene grobe Fehlinterpretationen über das Vorhandensein von feindlichem Funkverkehr zu einer der größten amerikanischen Militärkatastrophen des 20. Jahrhunderts geführt haben [Pogue 62, McDermott 16]. Um diese Problemstellung wissenschaftlich zu fassen, hat Swets die Signalentdeckungstheorie auf Basis folgender Definition formuliert:

„A diagnostic system looks for a particular ‚signal‘, however defined, and attempts to ignore or reject other events, which are called ‚noise‘“¹[Swets 88].

In ihrem Buch ‚Signal Detection Theory and Psychophysics‘ [Swets 66] aus dem Jahr 1966 entwickelten Green und Swets unterschiedliche Experimente rund um die Detektion von Signalen in höchst verrauschten (Audio-)Daten. Zusätzlich beschäftigten sie sich mit Evaluationsmöglichkeiten dieser Problemstellung für Mensch und Maschine. Eines dieser Experimente stellt Probanden vor die Frage, in welchem von zwei betrachteten Zeiträumen ein Stimulus auftaucht. Da hierbei eine binäre Entscheidung forciert wird, sprechen die Autoren von einer ‚two-alternative forced choice‘ (2AFC) [Swets 66, S.44ff], welche sie mit der vorgestellten ROC AUC evaluieren.

Die graphische Auswertung, wie in Kapitel 2.6 beschrieben, geht jedoch bereits auf einen Techreport aus dem Jahre 1954 [Peterson 54, S.176] zurück.

¹ Ein Diagnosesystem sucht nach einem spezifischen ‚Signal‘, das irgendwie definiert ist und versucht andere Ereignisse zu ignorieren oder auszusortieren. Diese werden als ‚Störgeräusch‘ bezeichnet.

Die psychologisch-statistische Nutzungshistorie der *AUC* wurde 1973 von Swets [Swets 73] umfassend ausgearbeitet, weshalb an dieser Stelle nur kurz das Themengebiet des ‚operant conditioning‘² [Nevin 69] genannt wird, bei welchem durch positives Feedback eine von zwei möglichen Handlungsoptionen erlernt werden soll. Die Anzahl an korrekten Entscheidungen ist hier das übliche Maß für den Lernstatus des Probanden. Da diese Entscheidungsart binärer Natur ist (korrektes Verhalten \Leftrightarrow falsches Verhalten), mündet die Evaluation in dieselben statistischen Kriterien und zieht die *AUC* zu Rate.

Den zuweilen sehr erfolgreichen Transfer dieses Gütekriteriums in verschiedene Forschungsbereiche wies Swets in seinem Science-Artikel „Measuring the Accuracy of Diagnostic Systems“ [Swets 88] im Juni 1988 nach. Vereinzelt Nutzung konnte im Materialtest und in der Forschung um polygraphische Lügendetektoren festgestellt werden, auch in der Wettervorhersage und dem in Kapitel 2.4 vorgestellten Information Retrieval hatte sich die *AUC* als bevorzugtes Gütekriterium durchgesetzt. In den 90ern wurde von Beck und Shultz aufgezeigt, dass sich die Nutzung der *AUC* ebenso in der Medizin etabliert hat und dort einen hohen Stellenwert bei Wirksamkeitsnachweisen und Überprüfung der Effektivität verschiedenster Medikamente einnimmt [Beck 86].

Dennoch existieren in diesem Forschungsfeld auch kritische Ansichten, die sich unter anderem mit der Validität von Prognose und deren Bewertung beschäftigen [Leushuis 09]. Ansätze bezüglich der Anwendbarkeit der *AUC* für unbalancierte Klassengrößen wurden zwar mit dem Argument, dass die *AUC*, selbst wenn die Klassengröße nicht bekannt ist, ein gutes Bewertungskriterium eines Entscheiders [Provost 98, Bradley 97] darstellt, vermeintlich beantwortet, jedoch zeigen die im Folgenden aufgezeigten Ergebnisse (vgl. Kapitel 5.2) auf, dass (aktuellen) binäre Klassifikatoren vor allem in stark unbalancierten Klassen trotz hoher *AUC* eine schlechte Klassifikation ermöglicht wird. Hier fällt es dem Klassifikator letztendlich sehr schwer, die Scoring-Funktion ($f : E \rightarrow \mathbb{R}_0^+$) sowie auch das τ so zu wählen, dass die Sensitivität ausreichend hoch ist, die Falsch-Positiv-Rate jedoch verträglich gering ausfällt.

Bei der Nutzung der *AUC* als Gütekriterium gibt es je nach Feld unterschiedliche Schwellwerte, ab denen eine Klassifizierung als angemessen anerkannt wird. In der Medizin folgt man so folgender Interpretation der *AUC*:

„A model is considered to have poor performance if the *AUC* lies between 0.50 and 0.70. An *AUC* between 0.70 and 0.80 represents fair performance, and an *AUC* between 0.80 and 0.90 represents good performance“³ [Leushuis 09].

Ab einer *AUC* von 0.80 wird von einer guten Performance, d. h. einem guten Klassifikationsergebnis gesprochen, was im Hinblick auf das Anwendungsgebiet ‚Mensch‘ in der Humanmedizin als wichtiger Eckpunkt zu erfassen ist, denn in Bezug auf Rückfälligkeitsvorhersagen werden Algorithmen bereits mit einer deutlich niedrigeren *AUC* akzeptiert:

„The lower half of acceptable *AUC* value ranges (0.65 to 0.75) reported in other criminal justice risk-classification studies.“⁴ [Lansing 12, S.22]

² Instrumentelle und operante Konditionierung

³ Einem Modell wird eine schlechte Performance zugesprochen, wenn die *AUC* zwischen 0.50 und 0.70 liegt. Eine *AUC* zwischen 0.70 und 0.80 repräsentiert eine faire Performance, eine *AUC* zwischen 0.80 und 0.90 repräsentiert eine gute Performance

⁴ Die untere Hälfte des akzeptierten *AUC*-Wertebereichs (0.65 bis 0.75), wie es in anderen Strafjustiz-Risikoklassifikatoren-Studien berichtet wird.

„In most of the studies, the area under the curve (AUC) ranged from .70 to .80 [...], which reflects a satisfactory to good prognostic accuracy“⁵ [Endrass 08]

Bereits 1977 wurden die ersten Rückfälligkeitvorhersage-Statistiken mit einer AUC bewertet [Fergusson 77] und sie wird bis heute als wichtigste Kennzahl zur Bewertung dieser Klassifikatoren herangezogen, was in Kapitel 5.1 näher betrachtet wird. Es ist somit wichtig, den Grund für die Etablierung dieses Werkzeugs in durch maschinelles Lernen erarbeitete Analysetools zu verstehen.

Es kann nicht nachvollzogen werden, warum unterschiedliche Schwellenwerte in unterschiedlichen Disziplinen Anwendung finden und warum gerade bei kriminalprognostischen Instrumenten ein deutlich niedrigerer Wert als Garant für eine gute Klassifikation angesehen wird.

Im Jahre 1997 hat Andrew E. Bradle mit seinem Artikel „The use of the area under the ROC curve in the evaluation of machine learning algorithms“ [Bradley 97] in den verschiedenen Feldern des maschinellen Lernens die Möglichkeiten und Grenzen der AUC statistisch austariert. Er kommt zu dem Schluss, dass gerade in Bereichen, in denen häufig verschiedenartige Klassifikatoren verglichen werden müssen, bekannte statistische Kennziffern keine valide Vergleichbarkeit schaffen. Er führt zum Beispiel an, dass das häufig angegebene Tupel aus Sensitivität und Spezifität für die Evaluation bei maschinellem Lernen keine Indikation bietet, wie sich ein veränderter Schwellenwert τ auf die Klassifizierung auswirkt [Bradley 97, S.2] und somit als Optimierungskriterien für das maschinelle Lernen nicht nutzbar sind. Im angesprochenen Artikel bestätigt er am Beispiel von sechs Anwendungsgebieten aus dem maschinellem Lernen⁶ folgende Eigenschaften für die AUC:

1. Sie bietet die Möglichkeit, die Sensitivität in Bezug auf eine ANOVA (vgl. [Walpole 93, S.391]) zu steigern.
2. Sie ist unabhängig vom gewählten τ .
3. Sie zeigt sich invariant zu a priori festgelegten Klassengrößen.
4. Sie eignet sich als Indikator, wie gut die zwei Klassen getrennt werden konnten.
5. Sie lässt zufällige Verteilungen oder Zuordnungen zu nur einer der beiden Klassen gut erkennen.

Auch wenn einige dieser Punkte bereits 1995 von Marnie E. Rice and Grant T. Harris thematisiert wurden [Rice 95, S.738], stellt Bradley im Hinblick auf lernende Algorithmen fest:

„The AUC [...] appears to be one of the best ways to evaluate a classifier’s performance on a data set when a “single number“ evaluation is required“⁷ [Bradley 97]

⁵ In den meisten Studien bewegt sich die AUC im Bereich 0.70 bis 0.80, was eine zufriedenstellende bis gute Genauigkeit der Prognose widerspiegelt.

⁶ „Multiscale Classifier, Perceptron, Multi-layer Perceptron, k-Nearest Neighbours, and a Quadratic Discriminant Function“ [Bradley 97]

⁷ Die AUC scheint einer der besten Möglichkeiten zu sein, die Performance einer Klassifizierung zu evaluieren, wenn nur eine einzelne Maßzahl gefordert ist.

Dieser Fokus auf eine Kennzahl mag zwar für die Evaluation von Algorithmen des maschinellen Lernens benötigt werden um themen- und anwendungsübergreifende Vergleichbarkeit zu schaffen, jedoch wiesen Rice und Harris gerade im Spezialfall der Vorhersage von Gewalttaten auf den Umstand hin, dass viele Studien mit sehr wenigen Datenpunkten versuchten, die ROC-Kurve zu approximieren⁸, wodurch dem Maßstab die statistische Grundlage völlig entzogen wäre.

Zusätzlich steht dieses spezielle Forschungsfeld, wie bereits in der Einleitung erläutert, vor dem Problem der einseitigen Evaluation, denn schon in richterlichen Entscheidungen konnte kaum ein Straftäter, welcher für gefährlich gehalten wurde und dementsprechend im Gefängnis verblieb, seine potenzielle Unschuld beweisen.

Es ist also bedenklich, dass sich der *AUC* als meist genutztes Bewertungskriterium für Risiko-Klassifikatoren [Lansing 12] herauskristallisiert und in der Betrachtung der Rückfälligkeit von Straftätern eine solch zentrale Rolle einnimmt:

„The best measure for determining how accurately a score predicts an event like recidivism is a statistic called the area under the receiver operating characteristic ([ROC] AUC).“
⁹[Barnoski 07]

Selbst wenn ein Klassifikator eine *AUC* von 1.00 erreicht, könnte er jedem Rückfälligen eine Rückfallswahrscheinlichkeit von 10 % und jedem nicht Rückfälligen eine von 9% prognostizieren. Obwohl laut *AUC* diese Klassifizierung eine perfekte Trennschärfe aufweist, ließe sich einerseits sehr schwer zwischen den beiden Klassen separieren, andererseits ist eine solch niedrige Rückfallswahrscheinlichkeit in keiner Art hilfreich, wenn die Basisrate höher liegt als die Prognose.

Diese Diskrepanz würde sich zwar auch bei einer Nutzung des *PPV_k* widerspiegeln, jedoch bildet dieser, wie im folgenden Kapitel erläutert wird, den generellen Entscheidungsprozess eines Richters deutlich besser ab. Insofern ist die anschließende Betrachtung der Abweichung dieser beiden Maße von großer Relevanz, zumal aktuell Firmen lediglich eine hohe *AUC* [Northpointe 12b] angeben, um ihre vermeintlich guten Klassifikatoren zu bewerben.

⁸ „ROC methods cannot make up for data that have not been gathered. Most studies of the prediction of violence yield only one or two ROC data points. Reliable calculation of ROC effect size is impossible with so few points without making untenable parametric assumptions.“[Rice 95, S.738]

⁹Das beste Maß zur Feststellung, wie gut ein Ereignis durch eine Maßzahl vorhergesagt werden kann, wie zum Beispiel die Rückfälligkeit, ist die *AUC*.

4. Abweichung zwischen AUC und PPV_k

Ausgehend von der aktuell hohen Nutzungsquote der AUC als Bewertungsmaßstab in der ADM-gestützten Kriminalprognose überprüft dieses Kapitel die Eignung der AUC bei binären Klassifikatoren für Rückfälligkeitsvorhersage und beabsichtigt mathematisch zu bestimmen, ob und wie weit sie vom PPV_k abweichen kann, der deutlich näher am richterlichen Entscheidungsprozess evaluiert.

Der juristische Prozess, bei welchem einem Richter ein Delinquent vorgeführt wird, bildet keine ‚two-alternative forced choice‘ (2AFC) (siehe Kapitel 3.3) ab, da in den seltensten Fällen ein Richter zwischen zwei Straffälligen entscheiden muss, von denen er zu 100% weiß, dass genau einer rückfällig wird. Somit kann die Gültigkeit dieser Evaluationsmöglichkeit bereits in seinem Ursprung für dieses Anwendungsfeld angezweifelt werden.

Deutlich näher an der Fragestellung zeigt sich der PPV_k (vgl. Kapitel 2.7), da dieser überprüft, wie viele rückfällige Delinquenten der Klassifikator in die ersten k seiner Sortierung bringen konnte. In Kapitel 3.3 wurde der sehr hohe Stellenwert der AUC für die Evaluation von binären Klassifikatoren bei der Rückfälligkeitsvorhersage beschrieben und hinterfragt. Diese soll nun mit dem PPV_k (vgl. Kapitel 2.7) auf Korrelation überprüft werden, indem mathematisch ausgelotet wird, welchen Wert ein Klassifikator bei einem Maß minimal und maximal erreichen kann, wenn das andere fixiert bleibt.

Hierzu wird zunächst das Symmetrieverhalten der beiden Qualitätsmaße im Bezug auf ein Austauschen der betrachteten Klassen beleuchtet und im Anschluss ausführlich besprochen, wie sich die jeweiligen Extrema bestimmen lassen.

Zur Veranschaulichung wird im Folgenden ein Beispiel mit $K_1 = 3$ grünen (*class 1*) und $K_2 = 4$ roten (*class 2*) Elementen verwendet. Es kann zum Beispiel angenommen werden, dass die drei grünen Kugeln Straftäter sind, welche innerhalb eines bestimmten Zeitraums rückfällig geworden sind, während die vier roten jene sind, deren Legalverhalten rechtskonform verlief. Die Sortierung ergibt sich anhand der Zugehörigkeitswahrscheinlichkeit zu (*class 1*), welche über die Scoringfunktion f des (*class 1*)-Klassifikators ermittelt wird (vgl. Abbildung 4.1). Wird das k als die im Datensatz vorliegende Klassengröße von $|class 1| = 3$ gewählt, ergibt sich in Abbildung 4.1 für den $PPV_k = PPV_3 = \frac{2}{3} \approx 0.66$, da der Klassifikator in die ersten drei Elemente genau zwei (*class 1*) Elemente sortieren

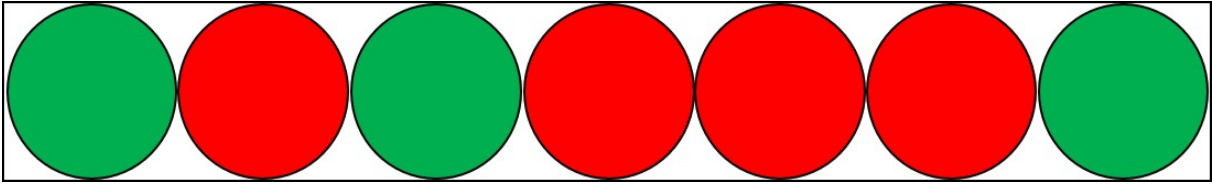


Abbildung 4.1: Mögliche Sortierung der Elemente anhand der Scoringfunktion ($f : E \rightarrow \mathbb{R}_0^+$) und der bijektiven Sortierfunktion $S_f : E \rightarrow \{1, 2, \dots, n\}$ eines ($class\ 1$)-Klassifikators

konnte. Die AUC würde wie folgt evaluiert: Von allen 12 Paaren aus roten und grünen Kugeln sind genau 7 Paare korrekt sortiert, die grüne Kugel ist also vor der roten, weshalb eine AUC von $\frac{7}{12} \approx 0.58$ vorliegt.

4.1 Symmetriebetrachtung

Da eine sehr schlechte binäre Klassifizierung durch einfaches ‚Umlabeln‘ der beiden Klassen¹ in eine gute bis sehr gute umgewandelt werden kann, ist es für die folgende Korrelationsbetrachtung wichtig, die beiden Qualitätsmaße bezüglich ihres Symmetrieverhaltens und des Austauschens der Klassennamen zu betrachten. Die Ergebnisse der Scoringfunktion des Klassifikators werden hierfür invers interpretiert, denn eine 70%ige Wahrscheinlichkeit zu (*class 1*) zu gehören, bedeutet bei einem binären Klassifikator gleichzeitig eine 30%ige ($100\% - 70\%$) Wahrscheinlichkeit zu (*class 2*) zu gehören. Ob hierfür die Scoringfunktion ($f' = 1 - f$) oder die Sortierfunktion angepasst wird, ist irrelevant. Es ergibt sich also für vorheriges Beispiel (siehe Abbildung 4.1) eine invers sortierte Liste, wie in Abbildung 4.2 zu erkennen ist.

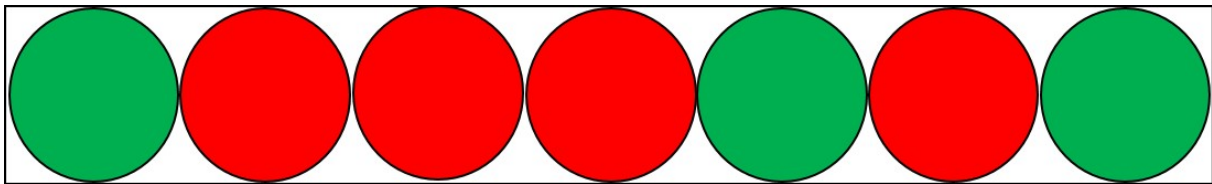


Abbildung 4.2: „Umgekehrte“ Klassifizierung, diese entspricht einem (*class 2*)-Klassifikator

4.1.1 Symmetriebetrachtung der AUC

Nach Definition (siehe Kapitel 2.6) normalisiert die AUC die Anzahl korrekt sortierter Paare [zwischen (*class 1*) und (*class 2*) Elementen] über die Summe aller Vergleiche. Im Folgenden wird von AUC_1 gesprochen, wenn sie sich auf einen (*class 1*)-Klassifikator bezieht, also zwei Elemente dann korrekt sortiert sind, wenn die Scoringfunktion f dem (*class 1*) Element eine höhere Zugehörigkeitswahrscheinlichkeit zu (*class 1*) zu gehören, gegeben hat als dem (*class 2*) Element. Die entsprechende Sortierfunktion würde dieses Element folglich weiter nach vorne sortieren. Analoges gilt für die AUC_2 bei einer Bewertung eines (*class 2*)-Klassifikators, welcher nach oben beschriebener Konstruktion entstanden ist. Generell wird also eine vom Klassifikator stammende Sortierung bewertet. Des Weiteren wird mit $\#AUC_1/\#AUC_2$ die absolute Anzahl an korrekt sortierten Paaren des jeweiligen Klassifikators bezeichnet; s_f^1 / s_f^2 sind die jeweiligen Sortierfunktionen.

Der AUC_1 für Abbildung 4.1 setzt sich im genannten Beispiel wie folgt zusammen:

$$AUC_1 = \frac{\#AUC_1}{|class\ 1| \cdot |class\ 2|} = \frac{7}{3 \cdot 4} = \frac{7}{12}$$

Bei der Berechnung von $\#AUC_2$ fallen bei der Betrachtung eines Paares folgende Eigenschaften auf (vgl. Abbildung 4.3):

- Die Sortierung aller Paare wird umgekehrt, was nach Konstruktion aus der umgekehrten Sortierfunktion oder angepassten Scoringfunktion resultiert.
- Der $\#AUC_2$ erfasst exakt alle Paare, die vor der Anpassung vom $\#AUC_1$ erfasst werden. Falls damals $s_f^1(x) > s_f^1(y)$ galt, so gilt nach der Anpassung $s_f^2(y) > s_f^2(x)$, womit stets $\#AUC_1 = \#AUC_2$ gilt.

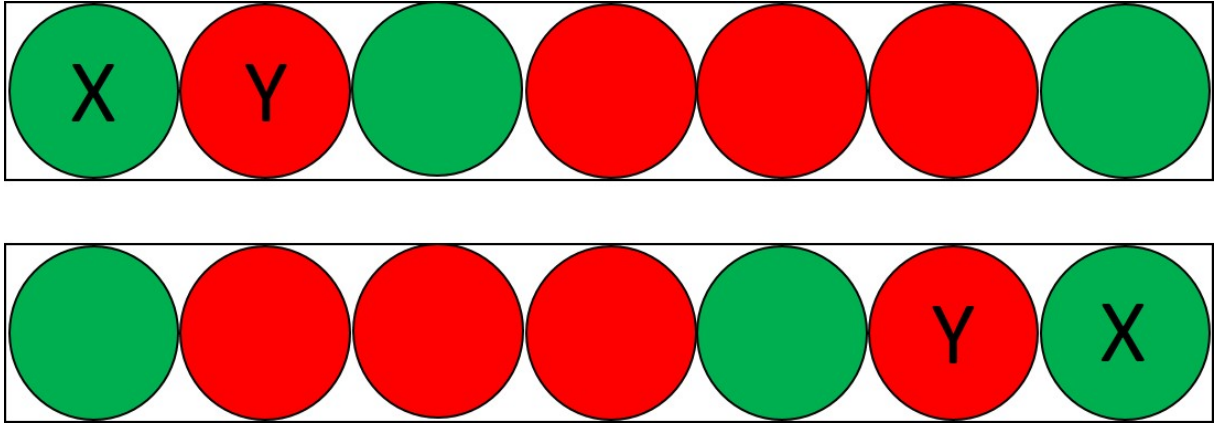


Abbildung 4.3: AUC : Betrachtung eines Paares bei einer Sortierung eines ($class\ 1$)-Klassifikator (oben) und einer Sortierung welche aus einem ($class\ 2$)-Klassifikator entspringt (unten)

Sowohl für den AUC_1 als auch für den AUC_2 sind die Größen der betrachteten zwei Klassen identisch. Somit wird, dem Kommutativgesetz der Multiplikation folgend, für die Anzahl aller Möglichkeiten von Paaren derselbe Wert herausgezogen². Da sowohl Zähler als auch Nenner identisch sind, verändert sich der AUC für das beschriebene Symmetrieverhalten nicht und es gilt stets:

$$AUC_1 = \frac{\#AUC_1}{|class\ 1| \cdot |class\ 2|} = \frac{\#AUC_2}{|class\ 2| \cdot |class\ 1|} = AUC_2$$

4.1.2 Symmetriebetrachtung des PPV_k

Wie in Kapitel 2.7 beschrieben, evaluiert der PPV_k einen binären ($class\ 1$)-Klassifikator über die Anzahl der ($class\ 1$) Elemente in den ersten k Elementen. Wobei $k := |class\ 1| = k_1$ (siehe Abbildung 4.4) gewählt wird, weshalb im Folgenden von PPV_{k_1} gesprochen wird und die 1 im Index lediglich der Unterscheidung zum PPV_{k_2} für den konstruierten ($class\ 2$) Klassifikator dient. In Abbildung 4.4 wird die Anzahl der ($class\ 1$) Elemente im grau hinterlegten Bereich herangezogen (im Weiteren mit $\#PPV_{k_1}$ bezeichnet), um den PPV_{k_1} zu bestimmen, und es ergibt sich folgender Wert:

$$PPV_{k_1,1} = \frac{\#PPV_{k_1}}{|class\ 1|} = \frac{\#PPV_{k_1}}{k_1} = \frac{2}{3}$$

Der PPV_{k_2} orientiert sich nach Definition an der Größe der zweiten Klasse ($class\ 2$), welche $k_2 = |class\ 2| = n - k_1$ groß ist. Im Gegensatz zur zuvor betrachteten AUC verändert sich der PPV_k deutlich bei der Anwendung der in Kapitel 4.1 vorgestellten Symmetrie-Betrachtung. Der Zähler, also $\#PPV_{k_2}$, ist zwar abhängig von $\#PPV_{k_1}$, aber nicht gleich. Da durch die reverse Sortierung des ($class\ 2$)-Klassifikators für die Berechnung der $\#PPV_{k_2}$ Elemente exakt die k_2 letzten Elemente der Sortierung des ($class\ 1$)-Klassifikators genutzt werden, lässt sich dieser Wert bereits auf der Sortierung des ($class\ 1$)-Klassifikators berechnen.

¹ ($class\ 1$) in ($class\ 2$) umbenennen und vice versa

² $|class\ 1| \cdot |class\ 2| = |class\ 2| \cdot |class\ 1|$

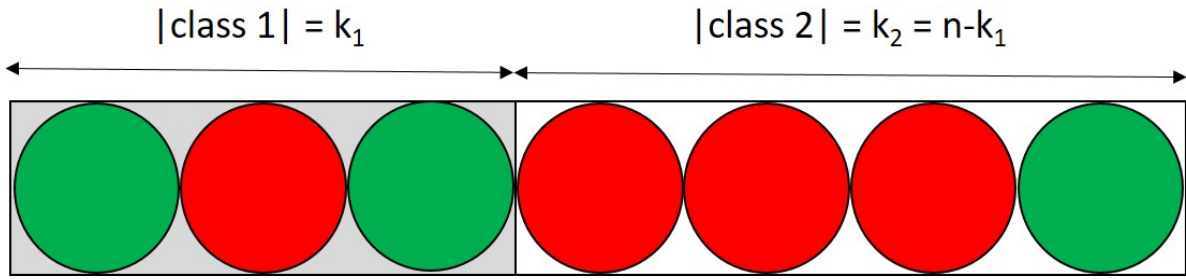


Abbildung 4.4: Visualisierung einer durch einen (*class 1*)-Klassifikators sortierten Ground-Truth Menge zur Veranschaulichung der Berechnung des PPV_{k_1}

Offensichtlich gilt $\#PPV_{k_1} = PPV_{k_1} \cdot k_1$ (I), da es die Anzahl aller (*class 1*) Elemente in den ersten k_1 Elementen aufsummiert. Durch das Subtrahieren von k_1 erhalten wir in II die Anzahl aller (*class 2*) in den ersten k_1 Elementen. Da exakt diese Anzahl an Elementen offensichtlich nicht in den letzten k_2 Elementen enthalten sein können, ergibt sich im Zähler (III) durch das Subtrahieren von allen (*class 2*) Elementen die Anzahl an (*class 2*) Elementen in den letzten k_2 Elementen, was nach Definition $\#PPV_{k_2}$ entspricht.

$$PPV_{k_2} = \frac{\#PPV_{k_2}}{k_2} = \frac{k_2 - (k_1 - (\#PPV_{k_1}))}{k_2} = \frac{k_2 - (k_1 - (PPV_{k_1} \cdot k_1))}{k_2}$$

Da der $\#PPV_{k_2}$ nur noch durch die Größe der zweiten Klasse normalisiert werden muss (k_2), um den PPV_{k_2} zu erhalten, ist gezeigt, dass der PPV_{k_1} in den PPV_{k_2} für festes k_1, k_2 überführbar aber nicht gleich ist, bzw. lediglich für den Fall $k_1 = k_2$.

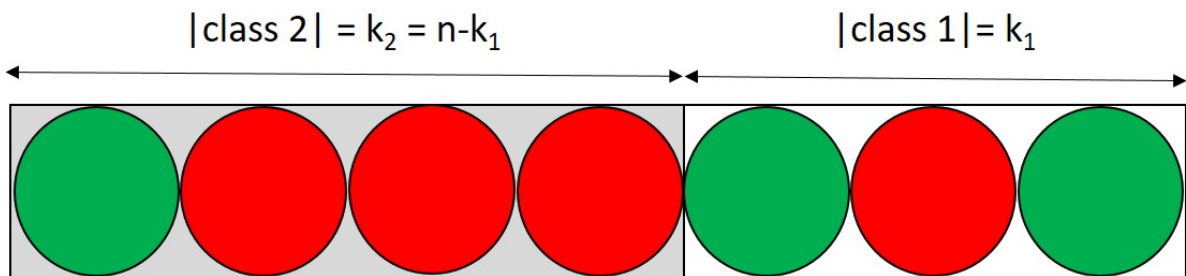


Abbildung 4.5: PPV_{k_2}

Für das Beispiel in Abbildung 4.5 ergibt sich also:

$$PPV_{k_2} = \frac{k_2 - (k_1 - (PPV_{k_1} \cdot k_1))}{k_2} = \frac{4 - (3 - (\frac{2}{3} \cdot 3))}{4} = \frac{3}{4}$$

Durch einfache Termumformung lässt sich die oben aufgestellt Formel in

$$PPV_{k_2} = 1 - \frac{k_1}{k_2} (1 - PPV_{k_1}) = \frac{k_1}{k_2} \cdot PPV_{k_1} + 1 - \frac{k_1}{k_2}$$

überführen, und es ist ersichtlich, dass sich der PPV_k für feste Klassengrößen bei einem Perspektivenwechsel, wie eingangs erläutert (vgl. Kapitel 4.1), direkt berechnen lässt.

4.2 Extremwertbetrachtung für die AUC und den PPV_k

Der PPV_k beruht auf einer festen Aufteilung der sortierten Liste in zwei Teilbereiche – die AUC dagegen auf der Anzahl korrekt sortierter Paare. Um festzustellen, wie weit die AUC mit dem PPV_k korreliert, ist es wichtig festzustellen, wie hoch oder niedrig die AUC werden kann, wenn man einen ($class\ 1$)-Klassifikator konstruiert, der einen bestimmten PPV_k -Wert erreicht. Selbiges gilt natürlich auch für den PPV_k bei fixierter AUC . Im Folgenden bezeichne ich die ersten k_1 Elemente der aus dem ($class\ 1$)-Klassifikator entspringenden Sortierung als Abschnitt A und die letzten $k_2 = n - k_1$ Elemente als Abschnitt B (s. Abb. 4.6).

Die $\#AUC(A)$ beinhaltet dann sämtliche Vergleiche zwischen ($class\ 1$) und ($class\ 2$) Elementen im Bereich A, für die die Scoring-Funktion des zugrunde liegenden Klassifikators dem ($class\ 1$) Element einen höheren Wert zugewiesen hat als dem ($class\ 2$) Element. Analoges gilt für die $\#AUC(B)$ im Bereich B. Die $\#AUC(\text{zwischen A und B})$ dagegen sammelt sämtliche paarweisen Vergleiche zwischen ($class\ 1$) und ($class\ 2$) Elementen aus unterschiedlichen Bereichen, die das oben beschriebene Kriterium erfüllen.

4.2.1 Betrachtung der Abhängigkeit der AUC vom PPV_k

Um die maximal sowie minimal mögliche AUC zu bestimmen, werden zunächst notwendige Beobachtungen notiert. Da im späteren Verlauf die Fallunterscheidung bezüglich der Klassengrößen, also ob die betrachtete ($class\ 1$) größer oder kleiner als ($class\ 2$) ist, zu deutlich komplexeren Termen führen würde, wird in Beobachtung 1 gezeigt, wie sich die Fälle ineinander überführen lassen. Zudem ist es wichtig festzustellen, dass die absolute Anzahl korrekt sortierter Paare für eine Aufteilung, wie in Abbildung 4.6, in drei Terme zerfällt:

1. Die Anzahl korrekt sortierter Paare innerhalb von A.
2. Die Anzahl korrekt sortierter Paare innerhalb von B.
3. Die Anzahl korrekt sortierter Paare zwischen A und B.

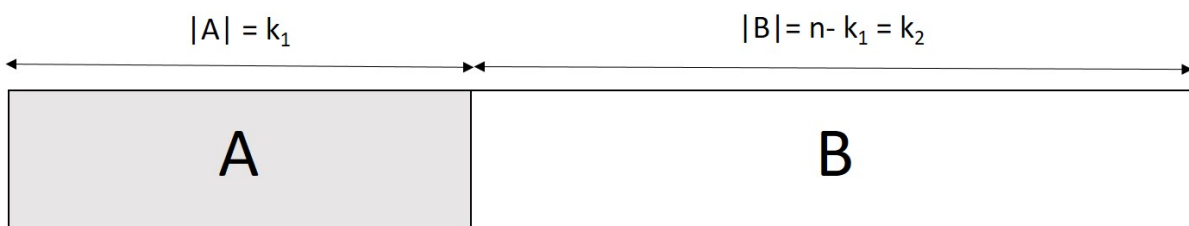


Abbildung 4.6: Visualisierung zur Aufteilbarkeit bei der AUC Berechnung

Deshalb ist diese Eigenschaft in Beobachtung 2 festgehalten. Weiterhin kann man feststellen, dass sich der PPV_k nicht verändert, wenn die Elemente innerhalb von Abschnitt A oder B in ihrer Reihenfolge permutiert werden. Daher können dort jeweilig den AUC maximierende/minimierende Sortierungen vorgenommen werden, ohne den PPV_k eines Klassifikators zu beeinflussen, da hier lediglich dieselbe Anzahl von Elementen beider Klassen in Abschnitten A und B enthalten sein müssen. Diese Sortierungen sind in

Beobachtung 3 sowie 4 erläutert. In den folgenden Abschnitten wird dann jeweils betrachtet, wie man für den festen PPV_k eines Klassifikators die AUC minimiert oder maximiert.

Beobachtung 1 : Für das Klassenverhältnis kann bei der AUC/ PPV_k Betrachtung stets $k_1 \leq k_2$ angenommen werden.

Bei der Betrachtung der Klassenverhältnisse treten folgende zwei Fälle auf:

1. $k_1 > k_2$
2. $k_1 \leq k_2$

Wenn nun der 1. Fall eintritt, kann der Klassifikator durch einen nach Kapitel 4.1 konstruierten (class 2) Klassifikator ersetzt werden, bei dem durch die Vertauschung der Klassen und deren Größen Fall 2 ($k_1 \leq k_2$) eintritt. Es wurde bereits gezeigt, dass sich beim Vertauschen der betrachteten Klassen:

- der AUC nicht ändert (vgl. Kapitel 4.1.1),
- der PPV_{k_2} durch die Formel $PPV_{k_2} = 1 - \frac{k_1}{k_2} (1 - PPV_{k_1})$ aus dem PPV_{k_1} berechnen lässt (vgl. Kapitel 4.1.2),

weshalb der AUC einfach gleich bleibt und der PPV_k entsprechend umgerechnet werden kann. Unter Beachtung der unter Umständen notwendigen Umstrukturierung bezüglich der Klassen und des PPV_k kann also bei der Betrachtung der AUC oder des PPV_k stets $k_1 \leq k_2$ angenommen werden.

Beobachtung 2 : Die Berechnung der AUC lässt sich in Abschnitte (siehe Abbildung 4.6) untergliedern.

Unterteilt man die gegebene Liste in beliebige, aber konsekutive Abschnitte A und B, wie in Abbildung 4.6 skizziert, so gilt für den AUC :

$$AUC = \frac{\#AUC(A) + \#AUC(B) + \#AUC(\text{zwischen A und B})}{|\text{class 1}| * |\text{class 2}|}$$

Beweis:

Der alternativen Definition der AUC in Kapitel 2.6 folgend, können zur Berechnung der AUC sämtliche Vergleiche der Scorings aller (class 1) und (class 2) Elemente herangezogen werden. Da die oben angesprochene Unterteilung, die in der Mengenlehre eine Partition widerspiegelt, die gesamte Liste in 2 disjunkte, nicht leere Teillisten unterteilt, befinden sich alle Vergleichspartner für alle (class 1) Elemente in Abschnitt A entweder in Abschnitt A und werden von der $\#AUC(A)$ erfasst oder in Abschnitt B und werden von der $AUC(\text{zwischen A und B})$ erfasst. Selbiges gilt vice versa für alle (class 1) in B, womit mathematisch alle Vergleiche genau einmal erfasst werden und alle nötigen Vergleiche analog zur Definition des AUC korrekt behandelt werden.

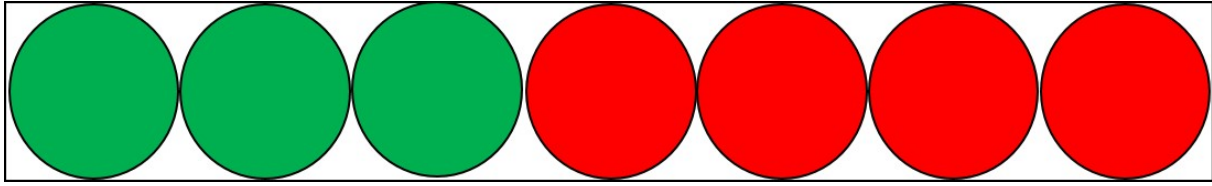


Abbildung 4.7: Sortierung von 3 (*class 1*) Elementen (grün) und 4 (*class 2*) Elementen (rot), die den AUC maximiert.

Beobachtung 3 : Maximale AUC

Die AUC ist für eine Sortierung maximal, wenn alle (*class 1*) Elemente eine höhere Wahrscheinlichkeit erhalten haben zu (*class 1*) zu gehören als alle (*class 2*) Elemente. Somit befinden sich alle (!) (*class 1*) Elemente vor den (*class 2*) Elementen und die Sortierung des Klassifikators kann nur wie in *Abbildung 4.7* aussehen:

- $\#AUC_1 = |\text{class 1}| * |\text{class 2}| = k_1 * (n - k_1) = k_1 * k_2$
- $AUC_1 = \frac{\#AUC_1}{|\text{class 1}| * |\text{class 2}|} = \frac{|\text{class 1}| * |\text{class 2}|}{|\text{class 1}| * |\text{class 2}|} = 1$

Beobachtung 4 : Minimale AUC

Die AUC ist für eine Sortierung minimal, in der alle (*class 1*) Elemente eine niedrigere Wahrscheinlichkeit erhalten haben zu (*class 1*) zu gehören als alle (*class 2*) Elemente. Somit befinden sich alle (!) (*class 1*) Elemente hinter den (*class 2*) Elementen und die Sortierung des Klassifikators kann nur wie in *Abbildung 4.8* aussehen:

- $\#AUC_1 = 0$
- $AUC_1 = \frac{\#AUC_1}{|\text{class 1}| * |\text{class 2}|} = \frac{0}{|\text{class 1}| * |\text{class 2}|} = 0$

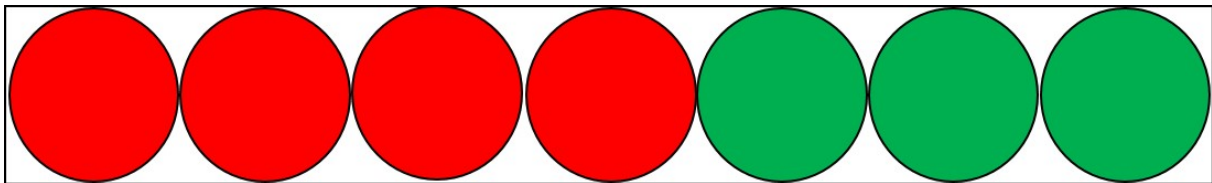


Abbildung 4.8: Klassifikation von 3 (*class 1*) Elementen (grün) und 4 (*class 2*) Elementen (rot), die den AUC minimiert.

4.2.1.1 Maximale AUC für festen PPV_k

Auf Grundlage der gezeigten Beobachtungen lässt sich die aus dem binären Klassifikator entspringende Sortierung in zwei Abschnitte A und B mit $|A| = k_1$ und $|B| = k_2$, wie in Abbildung 4.6 visualisiert, untergliedern. Da der PPV_k zwar die Anzahl der (*class 1*) Elemente in den beiden Abschnitten fixiert, jedoch eine veränderte Anordnung innerhalb dieser keinen Einfluss auf ihn hat, können unter Zuhilfenahme der Teilbarkeitsbeobachtung 2 diese beiden Bereiche und somit jeweils die internen $\#AUC$ ($\#AUC(A)_{max}$ und $\#AUC(B)_{max}$) für eine hohe AUC optimiert werden:

$$AUC_{max} = \frac{\#AUC(A)_{max} + \#AUC(B)_{max} + \#AUC(\text{zwischen A und B})}{|class 1| \cdot |class 2|}$$

Nach der Definition des PPV_k (vgl. Kapitel 2.7) befinden sich, wenn dieser a annimmt, genau $a \cdot k_1$ (*class 1*) Elemente in den ersten k_1 Elementen, woraus sich die in Abbildung 4.6 aufgeführten Werte ableiten lassen.

Da innerhalb der Bereiche A und B zur AUC-Maximierung eine optimale Sortierung (vgl. Beobachtung 3) vorliegen sollte, ergeben sich unter Berücksichtigung der Anzahl von (*class 1*) und (*class 2*) in den jeweiligen Bereichen (vgl. Abbildung 4.9) folgende Werte:

$$\begin{aligned} \#AUC(A)_{max} &= |(class 1) \text{ Elemente in A}| \cdot |(class 2) \text{ Elemente in A}| \\ &= (k_1 \cdot a) \cdot (k_1 \cdot (1 - a)) \\ \#AUC(B)_{max} &= |(class 1) \text{ Elemente in B}| \cdot |(class 2) \text{ Elemente in B}| \\ &= (k_1 \cdot (1 - a)) \cdot (k_2 - (k_1 \cdot (1 - a))) \end{aligned}$$

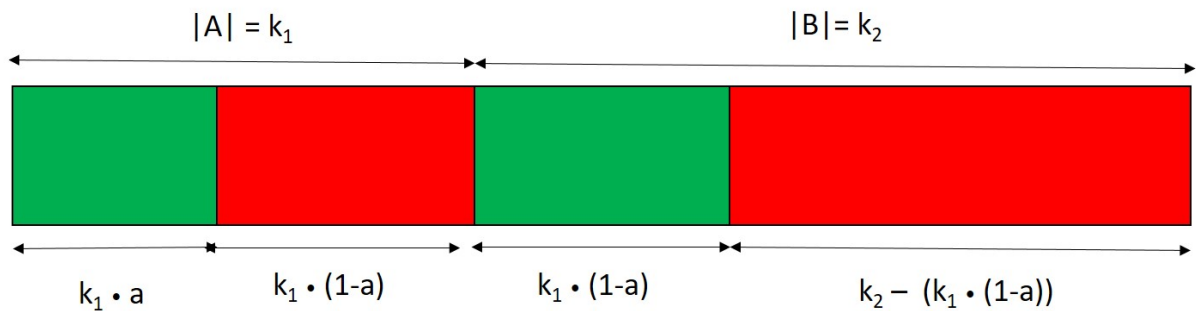


Abbildung 4.9: Sortierung mit maximaler AUC für gegebenes k und $PPV_k = a$. Grüne Abschnitte symbolisieren die Anzahl der (*class 1*)-Elemente, rote die der (*class 2*)-Elemente.

Für die $\#AUC(\text{zwischen A und B})$ sind nach Konstruktion lediglich alle (*class 1*) Elemente aus Bereich A zu allen (*class 2*) in Bereich B korrekt sortiert:

$$\begin{aligned} \#AUC(\text{zwischen A und B}) &= |(class 1) \text{ Elemente in A}| \cdot |(class 2) \text{ Elemente in B}| \\ &= (k_1 \cdot a) \cdot (k_2 - (k_1 \cdot (1 - a))) \end{aligned}$$

Setzt man nun diese Werte in die oben genannte Formel ein, lässt sich diese durch Termumformung wie folgt reduzieren:

$$\begin{aligned}
AUC_{max} &= \frac{\#AUC(A) + \#AUC(B) + \#AUC(\text{zwischen A und B})}{|\text{class 1}| \cdot |\text{class 2}|} \\
&= \frac{(k_1 \cdot a) \cdot (k_1 \cdot (1 - a))}{k_1 \cdot k_2} \\
&+ \frac{((1 - a) \cdot k_1) \cdot (k_2 - ((1 - a) \cdot k_1))}{k_1 \cdot k_2} \\
&+ \frac{(k_1 \cdot a) \cdot (k_2 - ((1 - a) \cdot k_1))}{k_1 \cdot k_2} \\
&= \frac{(a \cdot (k_1 \cdot (1 - a)))}{k_2} \\
&+ \frac{((1 - a) \cdot (k_2 - ((1 - a) \cdot k_1)))}{k_2} \\
&+ \frac{a \cdot (k_2 - ((1 - a) \cdot k_1))}{k_2} \\
&= \frac{[ak_1 - a^2k_1] + [k_2 - k_1 + ak_1 - ak_2 + ak_1 - a^2k_1] + [ak_2 - ak_1 + a^2k_1]}{k_2} \\
&= \frac{-a^2k_1 + 2ak_1 - k_1 + k_2}{k_2} \\
&= \frac{k_2 - (a^2k_1 - 2ak_1 + k_1)}{k_2} \\
&= \frac{k_2 - ((a - 1)^2 \cdot k_1)}{k_2} \\
&= 1 - \frac{((a - 1)^2 \cdot k_1)}{k_2}
\end{aligned}$$

Da $k_1 \leq k_2$ angenommen werden kann, liegt die AUC_{max} im Intervall $[0, 1]$. In Abbildung 4.10 wird diese für verschiedene Klassenverhältnisse in blau abgetragen und die Abweichung von der Identitätslinie (schwarz) ist deutlich zu erkennen. Eine maximal mögliche AUC ist somit gefunden. Da jedoch auch nach unten eine starke Abweichung möglich sein kann, wird im folgenden Abschnitt überprüft, welche Untergrenze für die AUC durch einen Klassifikator erreicht werden kann, der dennoch den festgesetzten PPV_k aufweist.

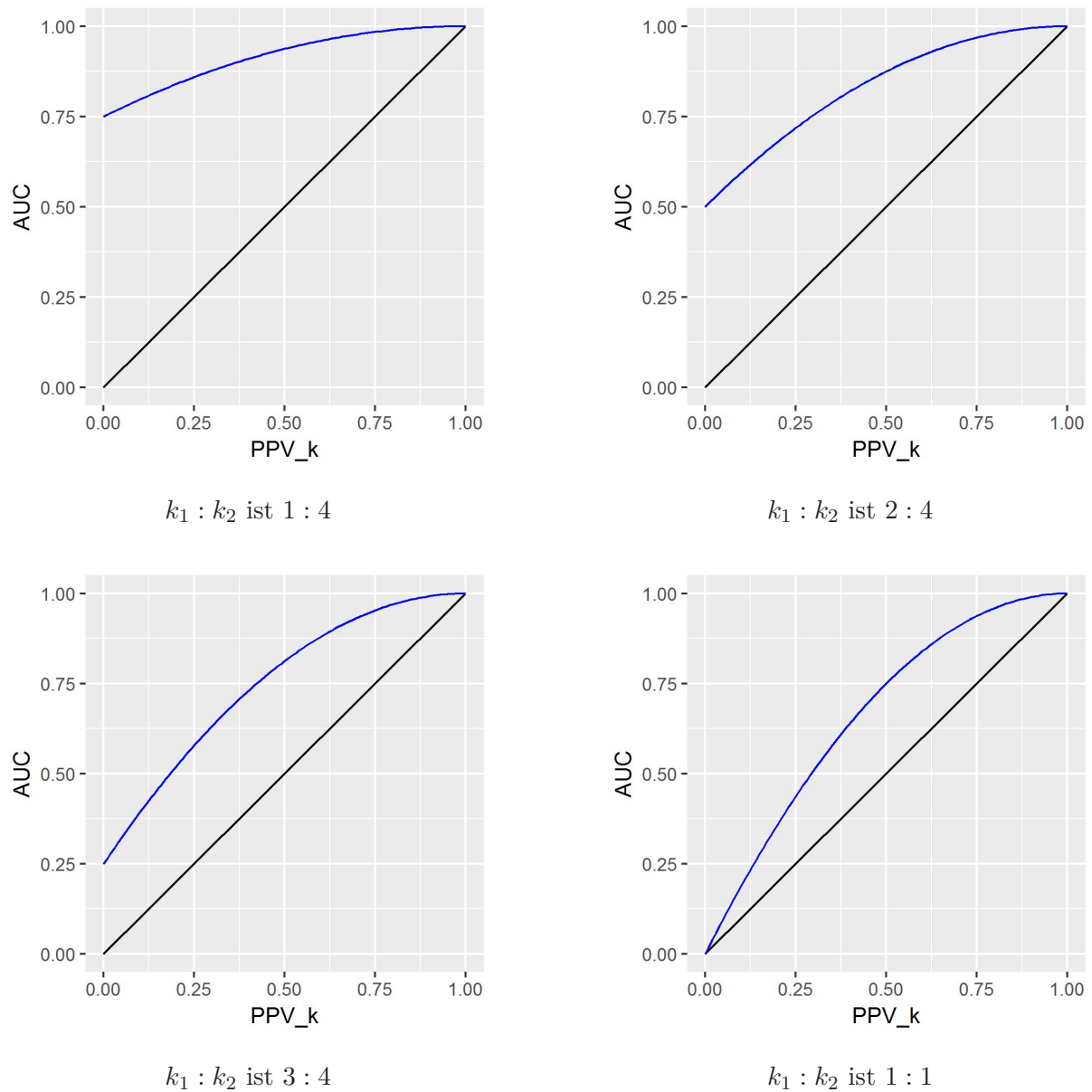


Abbildung 4.10: Maximale AUC (blau) für fixierten PPV_k bei verschiedenen Klassengrößenverhältnissen ($k_1 : k_2$)

4.2.1.2 Minimale AUC für festen PPV_k

Analog zur Berechnung der maximalen AUC in Abschnitt 4.2.1.1 wird auch hier eine Aufteilung in die Abschnitte A und B vorgenommen. Die AUC_{min} setzt sich also über die identische Formel zusammen (vgl. Beobachtung 2), wobei versucht wird, den Einfluss der Teilbereiche auf die AUC jeweils zu minimieren:

$$AUC_{min} = \frac{\#AUC_{min}(A) + \#AUC_{min}(B) + \#AUC(\text{zwischen A und B})}{|class 1| \cdot |class 2|}$$

Für die $\#AUC(\text{zwischen A und B})$ bleiben nach Konstruktion alle ($class 1$) Elemente aus

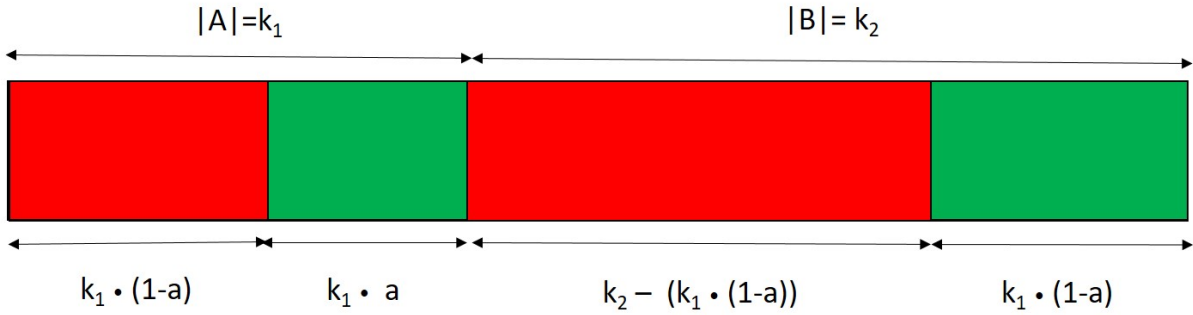


Abbildung 4.11: Sortierung mit minimaler AUC für gegebenes k und $PPV_k = a$. Grüne Abschnitte symbolisieren die Anzahl der ($class 1$)-Elemente, rote die der ($class 2$)-Elemente.

Bereich A zu allen ($class 2$) in Bereich B korrekt sortiert, um den PPV_k nicht zu verändern. Lediglich die Bereiche A und B sehen intern anders aus. Um die AUC_{min} zu erhalten, muss für diese vom Klassifikator jeweils eine minimierende Sortierung, wie in Beobachtung 4 aufgezeigt, angestrebt werden. Die Konstruktion in Abbildung 4.11 resultiert also aus dem Versuch innerhalb der Bereiche zu minimieren, weshalb dort die Anzahl an korrekt sortierten Paaren ($\#AUC(A)_{min}$ und $\#AUC(B)_{min}$) auf 0 sinkt und lediglich die

$$\#AUC(\text{zwischen A und B}) = (k_1 \cdot a) \cdot (k_2 - ((1 - a) \cdot k_1))$$

als Term in der Formel der AUC_{min} übrig bleibt:

$$\begin{aligned} AUC_{min} &= \frac{\#AUC(A)_{min} + \#AUC(B)_{min} + \#AUC(\text{zwischen A und B})}{|class 1| \cdot |class 2|} \\ &= \frac{0 + 0 + [(k_1 \cdot a) \cdot (k_2 - ((1 - a) \cdot k_1))]}{k_1 \cdot k_2} \\ &= \frac{a \cdot (k_2 - ((1 - a) \cdot k_1))}{k_2} \\ &= \frac{ak_2 - ak_1 + a^2k_1}{k_2} \\ &= a + \frac{(a - 1) \cdot ak_1}{k_2} \\ &= a \cdot \left(1 + \frac{(a - 1) \cdot k_1}{k_2}\right) \\ &= a \cdot \left(1 - \frac{(1 - a) \cdot k_1}{k_2}\right) \end{aligned}$$

Da auch hier $k_1 \leq k_2$ angenommen werden kann, liegt die AUC_{min} , wie in Abbildung 4.12 zu erkennen ist, meist deutlich unterhalb der Identitätslinie und zeigt somit auf, dass es bei gleichbleibendem PPV_k , Klassifikatoren gibt, die im Hinblick auf die AUC deutlich schlechter arbeiten.

Mathematisch zu erkennen ist, dass der PPV_k stets eine obere Grenze der AUC_{min} darstellt, jedoch nicht, wie für eine perfekte Korrelation benötigt, auch als eine untere Schranke fungiert. Daher soll im folgenden Abschnitt das Zusammenspiel von maximal und minimal möglicher AUC genauer betrachtet werden.

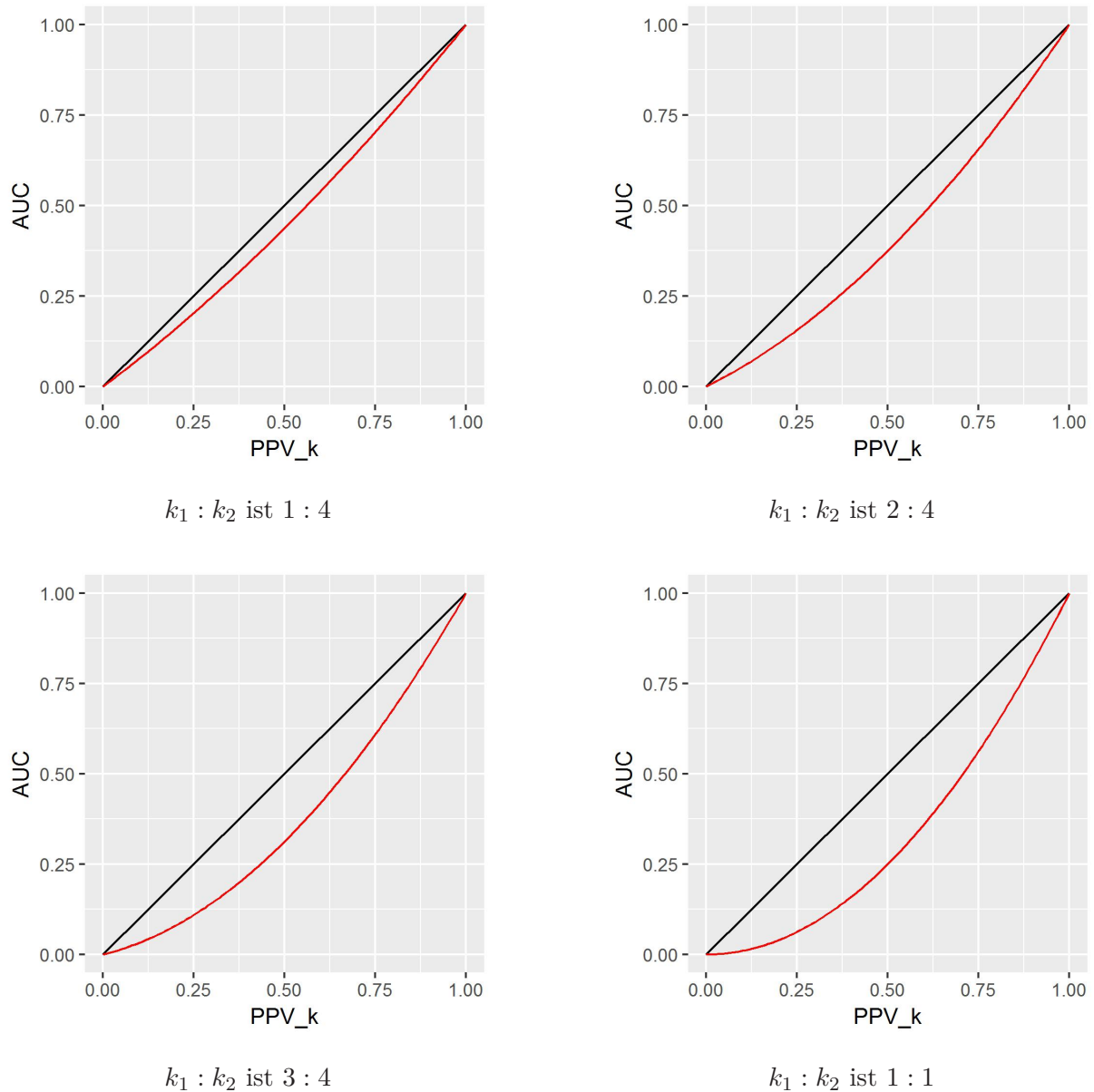


Abbildung 4.12: Minimaler AUC (rot) für fixierten PPV_k bei verschiedenen Klassengrößenverhältnissen ($k_1 : k_2$).

4.2.1.3 Vergleich maximaler und minimaler AUC für festen PPV_k

Bei der Betrachtung der maximal (blau) sowie minimal (rot) möglichen AUC für festen PPV_k in Abbildung 4.13 wird ihr großer Spielraum deutlich, denn es gibt Klassifikatoren, die außerhalb mancher Sonderfälle, wie zum Beispiel für $PPV_k = 1$, Unterschiede zwischen AUC und PPV_k von bis zu 0.75 aufweisen.

Auch wenn sich mit zunehmendem Ungleichgewicht des Klassenverhältnisses ($k_1 : k_2$) die Abweichung der AUC_{min} von der Identitätslinie reduziert (vgl. Abbildung 4.12), überwiegt die Diskrepanz der AUC_{max} deutlich. Es kann festgestellt werden, dass eine vollständige Korrelation ausgeschlossen werden kann, denn es existieren zumindest die zwei konstruierten Abweichungen, die für verschiedene Klassenverhältnisse berechnet und visualisiert wurden.

Zu beobachten ist auch, dass im Spezialfall $k_1 = k_2$ der

$$AUC_{max} = 1 - PPV_k^2 + 2PPV_k - 1 = 2PPV_k - PPV_k^2$$

ist und die Differenz zwischen PPV_k und der AUC_{max} somit genau bei $PPV_k - PPV_k^2$ liegt. Die AUC_{min} wird in diesem Fall

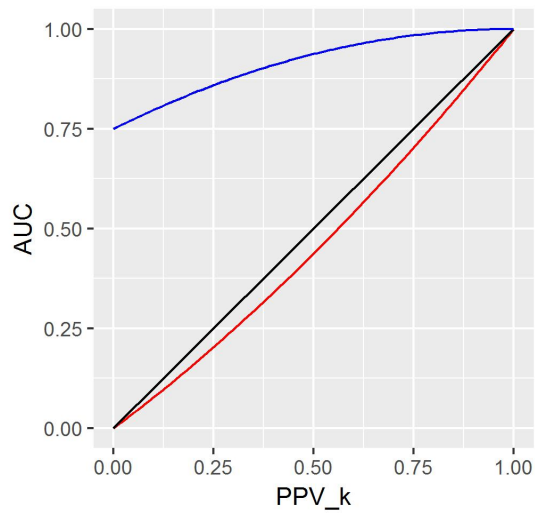
$$AUC_{min} = PPV_k^2$$

und die Differenz zwischen AUC_{max} und AUC_{min} bei gleich großen Klassen liegt bei:

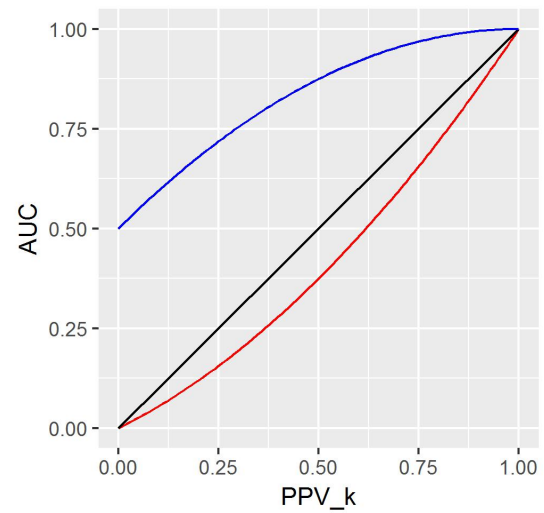
$$2PPV_k - 2PPV_k^2$$

, was auch das sehr symmetrisch wirkende Schaubild in Abbildung 4.13 ($k_1 : k_2$ ist 1 : 1) belegt.

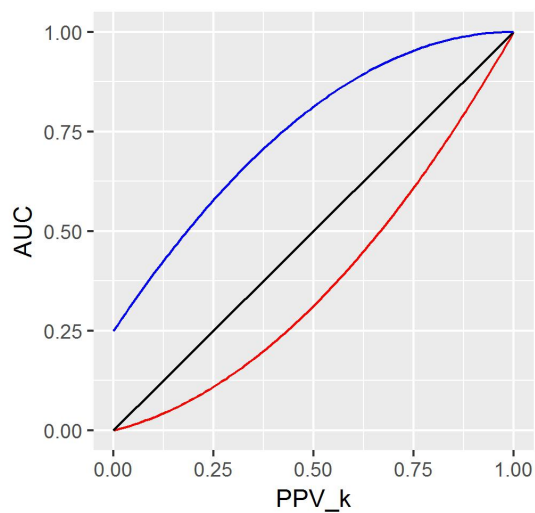
Interessant ist es zusätzlich das Verhalten der AUC für festen PPV_k und $\lim_{\frac{k_1}{k_2} \rightarrow 0}$ zu betrachten, denn hier nähert sich die AUC_{min} zwar dem PPV_k an, jedoch strebt die AUC_{max} gegen 1. Daraus kann man schließen, dass für unbalancierte Klassen durch den PPV_k zwar eine gute untere Schranke für die AUC gegeben ist, jedoch ein deutliches Verbesserungspotenzial existieren könnte. Deshalb soll im folgenden Kapitel überprüft werden, inwieweit bei fixierter AUC ein Spielraum für den PPV_k existiert.



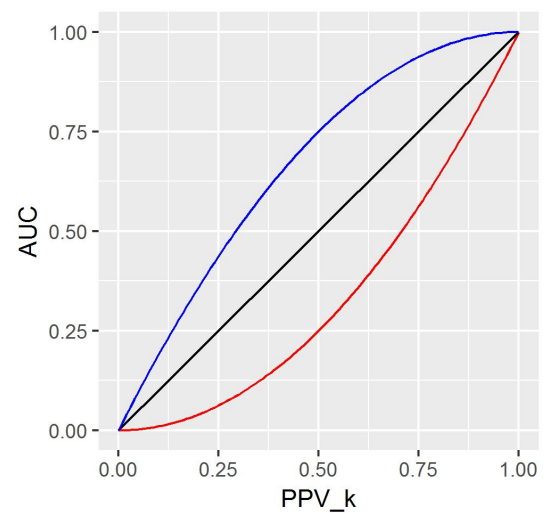
$k_1 : k_2$ ist 1 : 4



$k_1 : k_2$ ist 2 : 4



$k_1 : k_2$ ist 3 : 4



$k_1 : k_2$ ist 1 : 1

Abbildung 4.13: AUC_{max} (rot) und AUC_{min} (blau) für fixierten PPV_k bei verschiedenen Klassengrößenverhältnissen

4.2.2 Betrachtung der Abhängigkeit des PPV_k von der AUC

Wie bereits ausführlich im Kapitel 3.3 aufgezeigt, wird die AUC bei fast allen binären Klassifikatoren aus dem maschinellen Lernen als bevorzugtes Evaluationskriterium genutzt und dient auch in der Rückfälligkeitsvorhersage als das beste Maß zur Bestimmung, wie präzise ein Wert die Rückfälligkeit vorhersagen kann³. Wenn nun aber viele dieser Klassifikatoren mit der AUC evaluiert werden [Lansing 12] und, wie zuvor gezeigt, das Entscheidungsmodell eines Richters nicht durch die AUC abgebildet wird, ist es wichtig zu verstehen, welchen Spielraum der PPV_k bei fixierter AUC hat.

In diesem Fall wird $AUC = b$ angenommen und wie zuvor mit $\#AUC$ die Anzahl an korrekt sortierten Paare notiert. Zur Bestimmung der Maxima/Minima des PPV_k , die ein Klassifikator annehmen kann, wenn er zusätzlich eine AUC von b erreichen soll, entstehen, ähnlich der AUC Betrachtung zwei Fälle. Unter Zuhilfenahme der Beobachtung 1 lassen sich diese beiden auf $k_1 \leq k_2$ reduzieren. Des Weiteren wird mit $\#PPV_k$ die Anzahl aller (*class 1*) Elemente der Ground-Truth aufsummiert, die der Klassifikator in einer auf seiner Sortierfunktion s_f beruhenden Sortierung in die ersten k befördern konnte.

Der im Folgenden skizzierte Lösungsansatz dieser Fragestellung ist noch nicht optimal, da jedoch die erarbeiteten Optimierungen in Zusammenarbeit mit Prof. Dr. Katharina A. Zweig entstanden sind, wird an dieser Stelle nur auf das angehängte Paper (Appendix A) verwiesen, um die Eigenständigkeit der Arbeit nicht zu gefährden. Lediglich zur Visualisierung der Ergebnisse in Abschnitt 4.2.2.3 wurde die geschlossene Formel herangezogen, da sich diese leichter verarbeiten lässt und die Ergebnisse ohnehin identisch waren.

Da zur Bestimmung des PPV_k die ersten k Elemente der Liste betrachtet werden, ist es sinnvoll, die Liste zunächst wieder in die zwei Abschnitte A und B, wie in Abbildung 4.14 gezeigt, aufzuteilen. Bei der Betrachtung einer fixierten AUC fällt auf, dass es kompliziert

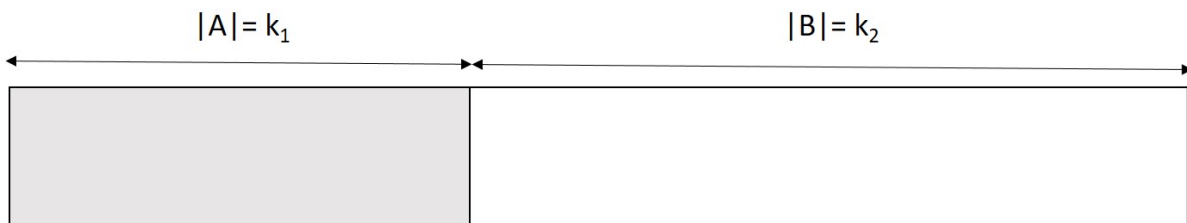


Abbildung 4.14: Visualisierung der Aufteilung für die Bestimmung der Extrema für den PPV_k bei fixiertem AUC .

werden würde, die durch die AUC vorgegebene Anzahl an korrekt sortierten Elementen (vgl. Definition AUC in Kapitel 2.6) so zu nutzen, dass sich der PPV_k maximiert oder minimiert, weshalb im Folgenden ein quasi iteratives Verfahren genutzt wird. Hierbei wird ausgenutzt, dass in Abschnitt 4.2.1 bereits Formeln vorgestellt wurden, welche für fixierten PPV_k minimale und maximale AUC -Werte berechnen können. Mit Hilfe dieser ist es möglich die minimalen und maximalen Schwellenwerte zu finden, um so im Vergleich mit der gegebenen AUC den entsprechenden PPV_k zu ermitteln.

³ „The best measure for determining how accurately a score predicts an event like recidivism“ [Barnoski 07, S.3]

4.2.2.1 Maximaler PPV_k für feste AUC

Da nach der Untergliederung in die zwei Abschnitte A und B die jeweilige interne Sortierung für die Berechnung des PPV_{k_1} nicht relevant ist (vgl. Definition PPV_{k_1} in Kapitel 2.7), kann die in Abbildung 4.15 skizzierte Sortierung innerhalb der Bereiche angenommen werden. Hier wird die AUC minimierende Sortierung, wie sie in Beobachtung 4 aufgezeigt wurde, jeweils auf A und B angewandt und somit die Sortierung geschaffen, die für minimale AUC dennoch den vorgegebenen PPV_k beibehält. Mithilfe der Formel aus Abschnitt 4.2.1.2 kann also die minimale AUC berechnet werden, die ein Klassifikator erreichen muss, um eine Sortierung zu ermöglichen, die genau $\#PPV_k$ Elemente in den Bereich A befördern kann.

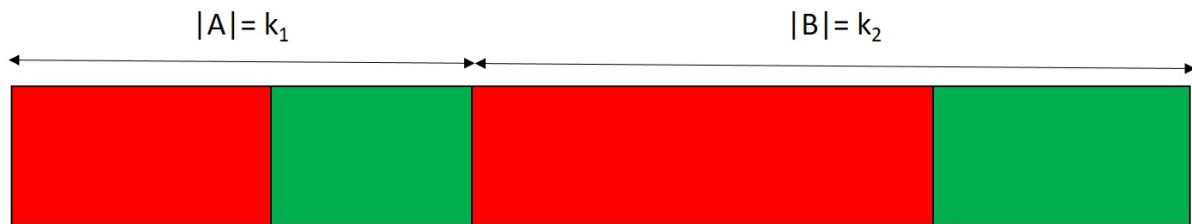


Abbildung 4.15: Minimale AUC in den Bereichen A und B

Zunächst werden nun die minimalen AUC Werte für alle $\#PPV_k \in [1, k]$ berechnet und in einer Liste abgelegt. Jeder $\#PPV_k$ gehört zu genau einem der möglichen PPV_k und diese Liste bildet exakt die Schwellenwerte ab, an denen durch einen Klassifikator ein nächsthöherer PPV_k erreicht werden kann. Diese Eigenschaft resultiert direkt daraus, dass es, wie in Abschnitt 4.2.1.2 gezeigt, keine Sortierung mit einer geringeren AUC und derselben PPV_k gibt.

Die resultierende Liste kann nun mit linearem Aufwand (vgl. Algorithmus 4.1) auf die Stelle hin überprüft werden, an welcher der maximal zu erreichende PPV_k für den gegebenenen $AUC = b$ ist.

```

1 Liste_der_Grenzen = []
2 for i:= 1 to k do
3 begin
4   {Liste_der_Grenzen += AUC_min(i/k);}
5 end;
6 j=1;
7 while Liste_der_Grenzen[j]<b && j<k do
8 begin
9   {j=j+1;}
10 end;
11 return Liste_der_Grenzen[j]

```

Algorithmus 4.1: Algorithmus zur Bestimmung des maximalen PPV_{k_1} für feste AUC.

4.2.2.2 Minimaler PPV_k für feste AUC

Der minimale PPV_k lässt sich ähnlich zum maximalen bestimmen. Zunächst wird die Liste wieder, wie in Abbildung 4.14 skizziert, in die Bereiche A und B geteilt. Wie bereits erwähnt, beeinflusst die interne Sortierung der zwei Abschnitte die Berechnung des PPV_k nicht (vgl. Definition PPV_{k_1} in Kapitel 2.7) und es kann von der in Abbildung 4.16 gezeigten Sortierung ausgegangen werden, welche jeweils die AUC innerhalb der Abschnitte von A und B maximiert (vgl. Beobachtung 3). Somit kann man nun, mit der in Abschnitt 4.2.1.1

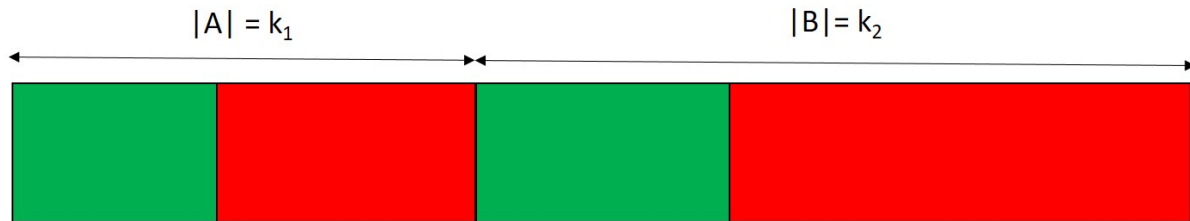


Abbildung 4.16: Maximale AUC in den Bereichen A und B

erläuterten Formel für alle $\#PPV_{k_1} \in [1, k_1]$ die maximale AUC berechnen, die dann für den dazugehörigen PPV_{k_1} als obere Schranke fungiert. Ähnlich zum maximalen PPV_{k_1} muss jetzt nur noch die gegebene $AUC = b$ mit der Liste abgeglichen werden und man kann den minimalen PPV_{k_1} ablesen (vgl. Algorithmus 4.2), welcher mit der gegebenen AUC vereinbar ist.

```

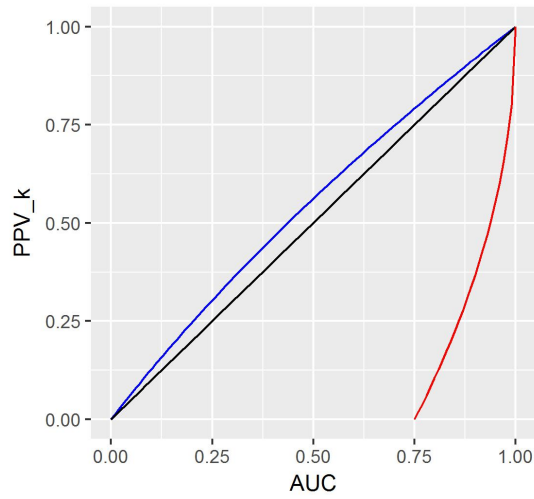
1 Liste_der_Grenzen =[]
2 for i:= 1 to k do
3 begin
4   {Liste_der_Grenzen += AUC_max(i/k1);}
5 end;
6 j=1;
7 while Liste_der_Grenzen[j]<b && j<k do
8 begin
9   {j=j+1;}
10 end;
11 return Liste_der_Grenzen[j]

```

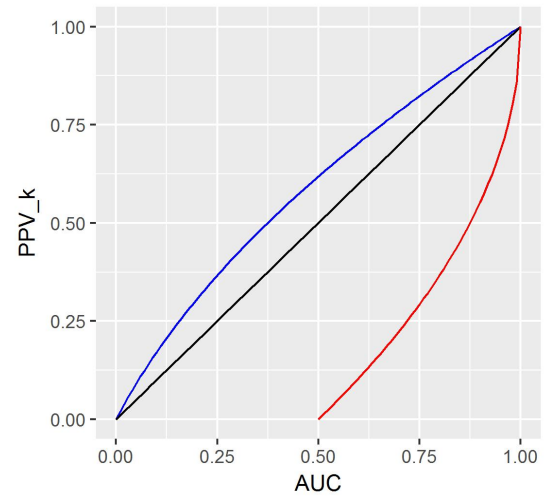
Algorithmus 4.2: Algorithmus zur Bestimmung des minimalen PPV_{k_1} für feste AUC .

4.2.2.3 Vergleich maximaler und minimaler PPV_k für feste AUC

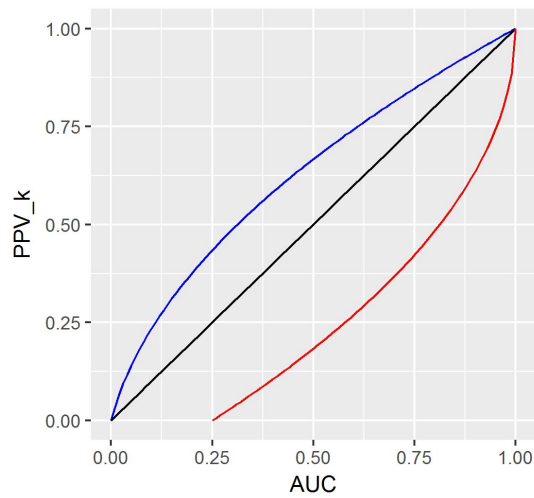
Wie bereits eingangs erwähnt, wurde an dieser Stelle auf die im angehängten Paper erläuterte Formel zurückgegriffen, da sie als geschlossene Formel die Visualisierung der Ergebnisse deutlich vereinfacht hat. Trägt man also sowohl den minimalen (rot) als auch den maximalen (blau) PPV_k gegen die AUC auf, so erkennt man in Abbildung 4.17 das eklatante Ausmaß des möglichen PPV_k Spielraums. Da gerade Rückfallrisiko-Klassifikatoren teilweise auf sehr unbalancierten Klassen arbeiten, könnte es sein, dass ein solcher mit einer AUC von 0.75 akzeptiert und eingesetzt wird (wie es üblich ist, vgl. Kapitel 3.3), im Extremfall lediglich einen PPV_k von 0 aufweist. Das bedeutet, dass sich unter den k Personen, die laut Klassifikator die höchste Rückfallwahrscheinlichkeit aufweisen, keine Person befindet, die entsprechend der Ground-Truth rückfällig wird. Da sich die Justiz und die Gesellschaft aktuell noch lediglich auf die AUC als Bewertungsmaßstab für solche Prognose-Tools verlässt, ist der zu erkennende Spielraum mehr als alarmierend. Auch wenn nicht nicht unbedingt der Extremfall vorliegen muss, verbleibt die Frage warum die AUC dennoch immer noch als der beste Bewertungsmaßstab für solche Problemstellungen gilt [Barnoski 07, S.3].



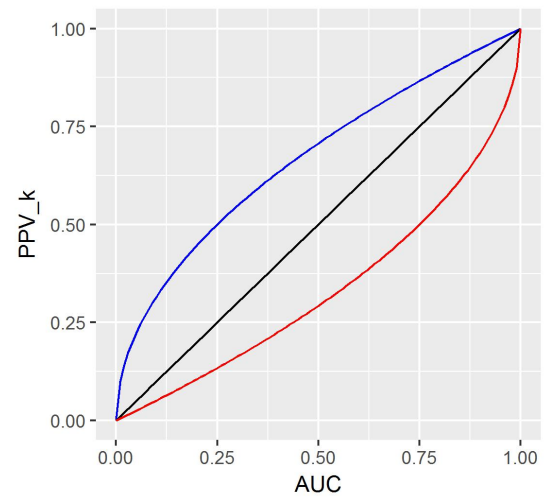
$k_1 : k_2$ ist 1 : 4



$k_1 : k_2$ ist 2 : 4



$k_1 : k_2$ ist 3 : 4



$k_1 : k_2$ ist 1 : 1

Abbildung 4.17: Maximaler PPV_k (blau) und minimaler PPV_k (rot) für fixierte AUC bei verschiedenen Klassengrößenverhältnissen

5. Überprüfung der Ergebnisse für das COMPAS Assessment Tool

Die in Kapitel 4 erarbeiteten Ergebnisse geben zwar für eine binäre Klassifizierung Aufschlüsse über die Lage der jeweiligen maximal/minimal möglichen PPV_k Werte bei fixierter AUC und vice versa, jedoch können mittels dieser Formeln noch keine Rückschlüsse darüber getroffen werden, wie sich die Verteilung zwischen diesen Werten darstellt. Um die gesellschaftliche Brisanz der möglicherweise fehlenden Korrelation anhand von anwendungsbezogenen Daten zu erörtern, wurden die von ProPublica öffentlich bereitgestellten Datensätze¹ extrahiert und entsprechend analysiert. Diese enthalten alle 2013 und 2014 bewerteten Personen des Broward County Sheriff's Office in Florida. Da hierbei das momentan in Wisconsin, USA in jeder Stufe des Justizprozesses angewandte [Wisconsin Department of Correction 17] ‚COMPAS Assessment Tool‘ anhand echter Datensätze evaluiert werden kann, lässt sich überprüfen, ob im Anwendungsbezug die Korrelation von AUC und PPV_k gewahrt bleibt oder sie deutlich voneinander abweichen. Es muss darauf hingewiesen werden, dass den folgenden Ergebnissen lediglich ein Algorithmus und ein lokal erfasster Datensatz zugrunde liegt.

¹ <http://github.com/propublica/compas-analysis>

5.1 Definition und Erläuterung zum COMPAS Assessment Tool

Die ‚Correctional Offender Management Profile for Alternative Sanctions‘, kurz COMPAS genannte Web-Applikation wurde vom *Northpointe Institute for public manangement Inc.* als automatisierte Entscheidungsunterstützung zur Bewertung von Straffälligen entwickelt und vertrieben [Northpointe 12a]. Das Tool wurde 1998 als „Breitband“-Bewertung konzipiert und kann anhand verschiedener Fragebögen in 22 verschiedenen Bedürfnis- und Risikobereichen Prognosen über Individuen erstellen [Northpointe 12a]. So soll es den Hilfebedarf der Bewerteten erkennen und quantifizieren und bietet unter anderem die folgenden zwei Prognose-Möglichkeiten, die sich aus dem sogenannten ‚CORE Risk Assessment‘ - Fragebogen erstellen lassen, der aus 137 verschiedenen Fragen besteht [Angwin 16]:

- ‚*General Recidivism Risk Scale*‘: Generelles Rückfallrisiko (GRRS)
- ‚*Violent Recidivism Risk Scale*‘: Gewaltbasiertes Rückfallrisiko oder Rückfallrisiko für Gewalttaten (VRRS)

Im Folgenden wird vor allem auf diese beiden Modelle Bezug genommen, da sie, wie noch erläutert wird, in ihrer Anwendung einen binären Klassifikator (vgl. Kapitel 2.1) abbilden. Für jeden Risikobereich ordnet das Prognose-Tool die Delinquenten in eine von zehn sogenannte Decile ein, die von Northpointe selbst geschaffen wurden. Hierzu nahmen sie einen normativen Datensatz von 7.381 Personen (33.8% mit kurzer Haftstrafe, meist kürzer als ein Jahr; 13,6% mit längerer Haftstrafe und 52.6% Personen mit Bewährungsstrafen) [Northpointe 12b, S.11] und beurteilten den Merkmalskatalog, welcher aus den Antworten der 137 Fragen resultiert, durch einen Bewertungsalgorithmus und erhielten jeweils einen ‚Raw Score‘. Dieser soll die Prognose im jeweiligen Risikobereich widerspiegeln, jedoch fehlt zunächst der Maßstab, da er scheinbar willkürlich skaliert. Nach der Sortierung anhand des ‚Raw Score‘ unterteilte Northpointe deshalb den Datensatz in 10 gleich große Gruppen, die sogenannten Decile [Northpointe 12b, S.8]. Ausschlaggebend für das Decile, in das eine Person kategorisiert wird, ist also der aus den Antworten errechnete Raw Score, wobei an dieser Stelle darauf verwiesen werden muss, dass die genaue Berechnung dieses Wertes als Firmengeheimnis geschützt wird und sich jeder demokratischen Kontrolle entzieht.

Northpointe sieht die entstehenden Decile wie folgt interpretiert [Northpointe 12b, S.8]:

- 1-4: Niedriges relatives Risiko im Vergleich zur Normgruppe
- 5-7: Mittleres relatives Risiko im Vergleich zur Normgruppe
- 8-10: Hohes relatives Risiko im Vergleich zur Normgruppe

Anhand dieser Kategorisierung wird deutlich, dass eine richterliche Nutzung, wie sie von Northpointe [Northpointe 12b] angedacht und auch unter anderem im Report „Evaluation of the Pretrial Services Program“ [Lukic 09] an das Broward Sheriff’s Office vom amerikanischen Justizwesen intern empfohlen wird, aus den drei Kategorien zwei schaffen wird. Die kontinuierliche Vorhersage der einzelnen Skalen wird im Justizwesen auf binäre Entscheidungen zu Fragen, ob der verurteilte Straftäter auf Bewährung das Gefängnis

Quelle	Jahr	Stichprobengröße	Betrachtungszeitraum der Rückfälligkeit	AUC
[Brennan 09a][Brennan 09b]	2009	2.328	1 Jahr	0.68
[Farabee 10]	2010	25.009	2 Jahre	0.70
[Lansing 12]	2012	11.289	2 Jahre	0.71

Tabelle 5.1: Auszug der von Northpointe veröffentlichten Liste an Evaluationen des COMPAS Assessment Tool [Northpointe 12b]

verlassen darf oder nicht, abgebildet. Es ist somit sehr wahrscheinlich, dass ein niedriges bis mittleres Rückfälligkeitsrisiko zusammengefasst und gegen die Gruppe der Personen mit einer hohen Rückfälligkeitwahrscheinlichkeit aufgeführt wird. Somit bietet sich in der Evaluation das Spektrum eines binären Klassifikators an, weshalb Northpointe selbst die hohe *AUC* seines Algorithmus lobt [Northpointe 12b] und mit der *AUC* in verschiedenen Studien wirbt, die den COMPAS GRRS mit den in Tabelle 5.1 aufgeführten *AUC*-Werten beurteilen [Northpointe 12b].

5.2 Auswertung der ProPublica Daten zum COMPAS Assessment Tool

Dem vorliegenden ProPublica-Datensatz konnten für 11.777 Personen alle notwendigen Informationen² entnommen werden, um sowohl die *AUC* als auch den erreichten PPV_k zu bestimmen. Der Wert für die tatsächliche Rückfälligkeit eines Individuums bezieht sich in dem durch ProPublica offerierten Datensatz auf ein Zweijahresfenster, soweit es das Broward County Sheriff's Office in Florida erfassen konnte. Bezüglich der ‚General Recidivism Risk Scale‘ (GRRS), also Northpointes Prognose für das generelle Rückfallrisiko, weisen die Daten eine Klassenverteilung von $|\text{Rückfällige}| = 4.262$ und $|\text{nicht Rückfällige}| = 7.515$ auf. Somit enthält er mit 36,189% eine Rückfallrate/Basisrate, welche den Basisraten in den von Northpointe selbst zitierten [Northpointe 12b] Validationsstudien ähnelt. Lansing et al. erfassten so zum Beispiel auf ihrem 11 289 großen Datensatz eine generelle Rückfallrate von 34% [Lansing 12]. Auch konnten sie eine *AUC* von 0.71 feststellen, welche die Akkuratheit des vorliegenden ProPublica-Datensatzes, die eine *AUC* von 0.69 enthält, weiter untermauert. Legt man die dem Raw Score entspringende Sortierung zu Grunde, so schafft es das COMPAS Tool lediglich 2.260 tatsächlich rückfällige Straftäter unter die vorderen 36,189% der Personen (4.262) zu bringen. Dies entspricht dem folgenden PPV_k :

$$PPV_k = \frac{2260}{4262} = 0.5302674800563116 \approx 0.53$$

In Abbildung 5.1 ist grün visualisiert, dass der erreichte PPV_k zwar im senkrechten Bereich des möglichen Wertebereiches (zwischen rot und blau), den dieser bei vorliegender *AUC* (0.69) annehmen kann³, jedoch deutlich unter der *AUC* liegt, die durch die schwarze Diagonale ersichtlich ist. Diese würde einer Identität der beiden Maße entsprechen.

² eindeutige Personen ID, RAW Score für das GRRS/VRRS, wirkliche Rückfälligkeit der Person innerhalb von zwei Jahren

³ [0.2616143, 0.7862506]

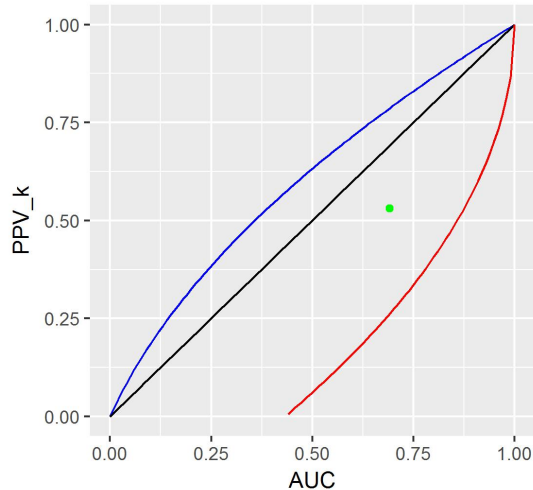


Abbildung 5.1: Auswertung des COMPAS Scores (GRRS) auf den ProPublica Daten (grüner Punkt) bei eingezeichnetem maximalen PPV_k (blau) und minimalen PPV_k (rot) für vorliegendes Klassenverhältnis:

n	=	11.777
Rückfällige	=	4.262
nicht Rückfällige	=	7.515
AUC	=	0.6909022561790231 \approx 0.69
PPV_k	=	0.5302674800563116 \approx 0.53

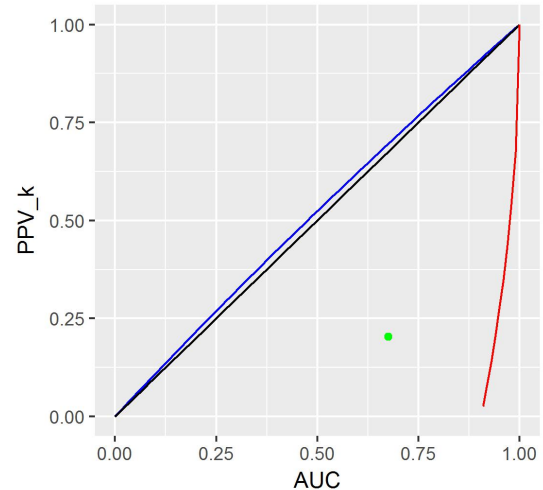


Abbildung 5.2: Auswertung des COMPAS Scores (VRRS) auf den ProPublica Daten (grüner Punkt) bei eingezeichnetem maximalen PPV_k (blau) und minimalen PPV_k (rot) für vorliegendes Klassenverhältnis:

n	=	12.526
gewaltbasiert Rückfällige	=	1.085
nicht gewaltbasiert Rückfällige	=	11.441
AUC	=	0.6760433512426204 \approx 0.68
PPV_k	=	0.20276497695852536 \approx 0.20

Wenn angenommen wird, dass ein Richter in seinem Distrikt den vorliegenden Datensatz zu bearbeiten hat, so hätte er bei der zufälligen Verurteilung eines Delinquenten entsprechend der im Datensatz vorherrschenden Basisrate eine Wahrscheinlichkeit von 36,189%, dass dieser rückfällig wird. Nutzt er nun das vorgestellte COMPAS Tool und kann auf Grund seiner Erfahrung mit dem Distrikt die Basisrate korrekt abschätzen, verurteilt also nur die Straftäter, die in den oberen 36,189% der Datenpunkte⁴ liegen, so erreicht er, der Interpretation des PPV_k (siehe Kapitel 2.7) folgend, lediglich mit einer Wahrscheinlichkeit von ungefähr 53,023% einen wirklich rückfällig werdenden. Es ist zu beachten, dass dieser Betrachtung die Annahme zugrunde liegt, welche der Einfachheit halber aufgestellt wurden, jedoch das Ergebnis für Northpointe noch fataler ausfallen lassen können. Zum einen muss den Richtern aufgrund ihrer Erfahrung eine deutlich höhere Trefferquote zugesprochen werden als in der erwähnten Monte-Carlo-Simulation, in der zufällig gezogen wird. Zum anderen wird kaum ein Richter die in seinem Distrikt vorherrschende Rückfallwahrscheinlichkeit explizit nennen können, da diese tagesaktuellen sowie individuellen Schwankungen unterliegt. Obwohl von diesen sehr idealisierten Annahmen ausgegangen wird, liegt der Anstieg in der Güte der Entscheidung lediglich bei 16,834 Prozentpunkten.

Viel drastischer stellt sich der Unterschied zwischen AUC und PPV_k für die ‚Violent Recidivism Risk Scale‘ (VRRS) dar. Vorliegend schafft es das COMPAS Risk Assessment Tool in seiner Prognose für die gewaltbasierte Rückfälligkeit zwar auf einen AUC von 0.68, jedoch kann es anhand der Raw Scores lediglich 220 Rückfällige in die ersten 1085

⁴ sortiert nach dem Raw Score

Straftäter sortieren, was sich in folgendem PPV_k widerspiegelt:

$$PPV_k = \frac{220}{1085} = 0.20276497695852536 \approx 0.20$$

In Abbildung 5.2 ist durch den grünen Punkt zu erkennen, dass es Northpointe mit diesem Klassifikator deutlich in das untere Drittel des möglichen Wertebereichs⁵ für den PPV_k mit vorliegender AUC von 0.69 schafft. Es ist jedoch zu beachten, dass der Klassenunterschied mit geringer Basisrate von 8.662% deutlich größer ist, sodass es wiederum schwieriger wird, eine Klassifizierung zu schaffen, welche die wenigen Rückfälligen von den vielen nicht Rückfälligen separiert. Wie oben betrachtet, würde ein Richter hier durch zufällige Urteile einen tatsächlich gewaltbasiert Rückfälligen lediglich mit einer der Basisrate entsprechenden Wahrscheinlichkeit von 8.662% erfassen. Dieser Wert kann zwar durch die Anwendung des COMPAS Assessment Tool um 11.614 Prozentpunkte erhöht werden, jedoch liegt die Trefferwahrscheinlichkeit innerhalb der ersten 1.085 Straffälligen⁶ immer noch nur bei 20.276% und gibt dem Anwender keine wirklich stichhaltige Prognose, auf der sein Urteil aufgebaut werden sollte.

Da es jedoch einem Richter wahrscheinlich schwerfallen wird, eine exakte, der aktuellen Situation und betrachteten Gegend entsprechende Prognose zur Basisrate der Rückfälligkeit aufzustellen und auch der zeitliche sowie mathematische Aufwand der Raw Score-Auswertung für einen amtierenden Richter unter Umständen zu aufwändig wäre, wird man gezwungen sein, die von Northpointe aufgestellten Decile und deren Interpretation zu nutzen.

Sollte sich der Richter allerdings vollständig auf die oben erörterte Decilen-Interpretation verlassen, also alle Straftäter mit einem hohen relativen Risiko im Vergleich zur Normgruppe (Decile 8-10) verurteilen, so wäre ein solcher Straftäter dem zugrundeliegenden Datensatz entsprechend für der GRRS nur zu 57.82%⁷ ein tatsächlich Rückfälliger. Obwohl in der GRRS eine Verbesserung⁸ zu verzeichnen ist, sinkt gerade im der bereits kritischen VRRS die letztendliche Trefferquote im Vergleich zum PPV_k um ganze 2.515 %, da hier lediglich 17.76%⁹ der Straftäter in den Decilen 8-10 eine Gewalttat begingen.

5.2.1 Threats to validity — Gefahren für die Gültigkeit der Ergebnisse

Die erarbeiteten Ergebnisse weisen lediglich dann eine deutliche Diskrepanz zwischen AUC und PPV_k für das COMPAS Assessment Tool auf, sollte die von ProPublica erfassten Daten korrekt sein. Viele der erfassten Merkmale sind zwar kurz erläutert, die genauen Erfassungskriterien sind jedoch meist nicht näher geklärt. Zum Beispiel ist nicht ersichtlich, wie das Broward County Sheriff Rückfälligkeit exakt definiert. Selbiges gilt für den betrachteten Zweijahreszeitraum. Hier ist es fraglich, ob nur Straftäter aufgeführt werden, die tatsächlich zwei Jahre auf freiem Fuß waren, oder ob eine Reststrafe von einigen Monaten oder länger auch Betrachtung fand. Denn das Rückfallrisiko im Gefängnis

⁵ [0,0.6967742]

⁶ sortiert nach dem Raw Score

⁷ 57.82060785767235%

⁸ 4.8 Prozentpunkte

⁹ 17.76061776061776%

könnte sich deutlich von dem außerhalb unterscheiden und der COMPAS ist für eine solche Prognose nicht ausgelegt. Auf diese und andere Gefahren bezüglich der Datenlage wird in der folgenden Abschlussbetrachtung näher eingegangen.

6. Schlussfolgerung/Fazit

Die hohe Nutzungsquote der AUC bei binären Klassifikatoren für Rückfalligkeitsvorhersagen erscheint willkürlich und erklärt sich lediglich durch ihre verbreitete Anwendung in der Historie des maschinellen Lernens. Die daher in der vorliegenden Arbeit unternommene Überprüfung der AUC hinsichtlich ihrer Eignung als Bewertungsmaßstab in der ADM-gestützten Kriminalprognose blieb deutlich hinter den Erwartungen zurück. Es wurde gezeigt, dass die Abweichung vom näher am richterlichen Entscheidungsprozess evaluierenden PPV_k inakzeptabel hoch sein kann, sodass eine weitere zukünftige Heranziehung der AUC als ausschließliches Qualitätsmaß kritisch zu hinterfragen ist. Bereits 2008 sprechen *Urbanoik et al.* bei der ROC-Analyse von einer „Dichotomisierung des Rückfallrisikos“ [Urbaniok 08].

Grundsätzlich muss für den Positive Predictive Value erwähnt werden, dass seine Verwendung als ausschließliches Qualitätsmerkmal in der Fachliteratur eher kritisch gesehen wird, worauf Daniel B. Kopans bereits 1992 am Beispiel der Brustkrebsvorsorge (Mammographie) [Kopans 92] hinwies. Er zeigte unter anderem auf, dass zum Beispiel Sensitivität, Spezifität und Klassengrößen jeweils einen großen Einfluss auf die Güte eines Klassifikators haben, was gegen eine ausschließliche, unangepasste Nutzung dieser Maße spricht.

Sollte also die AUC weiterhin in der Justiz Verwendung finden, müssten Gutachter wie Richter die Aussagekraft eines hohen AUC-Wertes richtig zu interpretieren wissen und dürften die Fähigkeit der Instrumente, etwaige Rückfälle zu prognostizieren, aufgrund des Vorliegens hoher Validitätswerte nicht überschätzen [Eher 08]. Hier bedarf es der Aufklärung, da die Tendenz besteht, dass Menschen softwarebasierte Prognosen als verlässlicher, objektiver und aussagekräftiger als andere Informationen empfinden, was die Gefahr einer unkritischen Übernahme dieser Empfehlungen und Prognosen birgt.

Die in dieser Arbeit aufgezeigten Probleme bezüglich der Datenlagen haben weiterhin gezeigt, dass es von immenser Bedeutung ist, das Anwendungsgebiet und die dort vorherrschende Datenlage und Qualität genauestens mit der Lernumgebung der Algorithmen abzugleichen (vgl. [Burnham 02]), denn *„in jedem Fall hängt der Klassifikationsvorgang eng mit der Beschaffung der Information zusammen; aufgrund dieser Interdependenz zwischen Klassifikation und Merkmals- bzw. Informationsgewinnung, die besonders bei der Behandlung realer Aufgabenstellungen wie z. B. modernen Bildverarbeitungssystemen*

oder Systemen zur automatischen Fehlerdiagnose zu Tage tritt, muss dem Gesamtsystem besonderer Stellenwert beigemessen werden. Grundsatz: der beste Klassifikationsalgorithmus ist gerade so gut wie die ihm vorliegende Information“ [Hengen 04].

Diese These wurde 2002 in der Medizin im speziellen Umfeld von Röteln und Herpes durch Burnham weiter untermauert, der den starken Einfluss des Abgleichs der Lernumgebung mit dem Datensatz, auf dem gearbeitet wird, auf das Klassifizierungsergebnis nachwies, indem er zeigte, dass der PPV durch die Einbeziehung der Krankengeschichte als weiteres Merkmal der Patienten sehr stark beeinflusst wird [Burnham 02].

Mögliche Konsequenzen und Forderungen:

Sollte im deutschen Justizwesen die Einführung ADM-gesteuerter Prozesse zur Debatte stehen, wäre Deutschland in der glücklichen Lage von den Erfahrungen und Fehlern anderer Länder, wie den USA zu profitieren. Daher ist zu hoffen, dass dies ohne überstürzten politischen Aktionismus, sondern mit Bedacht nach einer ausführlichen, gesellschaftlichen Debatte erfolgt. Keinesfalls sollte es zu einer voreiligen Nutzung von Algorithmen kommen, wie es seinerzeit beim Jugendstrafrecht in den USA der Fall war [Baird 09, S.2].

Es muss betont werden, dass bei der Risikoprognose ein Mensch im Mittelpunkt algorithmischer Betrachtung steht, sodass Auswahl, Überprüfung und Nutzung von algorithmischen Entscheidungshilfen ein Höchstmaß an wissenschaftlicher Aufmerksamkeit geschenkt werden muss. Schließlich geht es hier nicht um die bloße Einordnung eines Menschen in die richtige Stufe einer KFZ-Versicherung, sondern um existenzielle Urteile für die Betroffenen. Fehltritte könnten fatale Auswirkungen auf das Leben eines Betroffenen haben. Als Beispiel sei der ‚Feedback Loop‘ genannt, nach dem ein ‚false positive‘, also fälschlicherweise Verurteilter, tatsächlich – im Sinne der ‚self fulfilling prophecy‘¹ [Azariadis 81] – kriminell wird.

Daher bedarf es im Vorfeld einer kritischen gesellschaftlichen Debatte, die sich aber ohne präzisere Einsicht in die algorithmische Entscheidungsfindung nicht führen lässt. Die Frage beispielsweise, ob ein ADM-Prozess ein adäquates Konzept von Fairness verwendet, kann ohne Kenntnis des spezifischen Modells und all seiner Annahmen nicht überprüft werden. Grundsätzlich sollten normative Entscheidungen, wie z. B. über Fairness-Kriterien, schon bei der Gestaltung eines ADM-Prozesses im Konsens mit der Gesellschaft gefällt werden, die natürlich dementsprechend informiert und geschult werden müsste.

Sinnvolle Handlungsempfehlungen für die gesellschaftliche Debatte gibt das ADM-Manifest [Algorithm Watch 16] in den Punkten 3 und 4:

3. *ADM-Prozesse müssen nachvollziehbar sein, damit sie demokratischer Kontrolle unterworfen werden können.*
4. *Demokratische Gesellschaften haben die Pflicht, diese Nachvollziehbarkeit herzustellen: durch eine Kombination aus Technologien, Regulierung und geeigneten Aufsichtsinstitutionen*

Zunächst sind hier die Vertreiber gefordert, die Algorithmen ihrer angebotenen Tools insoweit offenzulegen, „dass Erklärbarkeit, Nachvollziehbarkeit, unabhängige Überprüf-

¹ selbsterfüllende Prophezeiung

barkeit und die Möglichkeiten zur forensischen Datenanalyse gegeben sind“ [Lischka 17]. Sollte dies nicht geschehen, läge es in der Verantwortung des Staates, durch geeignete Maßnahmen eine informierte Debatte zu ermöglichen.

Hierzu gehört auch, dass finanzielle Mittel zur Verfügung gestellt werden, damit in dieser Hinsicht eine weiterführende Forschung betrieben werden kann. In dem Zusammenhang sei darauf hingewiesen, dass es kein akzeptabler Status quo ist, wenn kritische Untersuchungen zu Risiken und gesellschaftlichen Folgen der ADM-Prozesse abhängig vom Interesse und verfügbaren Budget beliebiger Institutionen sind. So ist der Anstoß der Fairness Debatte um das COMPAS-Tool primär dem Engagement und den Studien des Recherchebüros ProPublica zu verdanken.

Abschließend lässt sich konstatieren, dass die Gesellschaft bei der Integration eines Risikovorhersage-Instruments die Auswahl des Bewertungsmaßstabs als eine der wichtigsten Modellierungsentscheidungen verstehen muss, denn:

„We recognize that creation of valid, reliable, and robust risk assessment instruments is both a science and an art.“²

²Wir stellen fest, dass die Erstellung eines fundierten, zuverlässigen und robusten Risikobeurteilungsinstruments sowohl eine Wissenschaft als auch eine Kunst ist. [Baird 09, S.10]

Literaturverzeichnis

- [Aggarwal 15] AGGARWAL, C. C.: *Data mining: the textbook*. Springer, 2015
- [Albrecht 03] ALBRECHT, G.: Probleme der Prognose von Gewalt durch psychisch Kranke. In: *Journal für Konflikt- und Gewaltforschung*. 5, (2003), Nr. 1, S. 97–126, 2003
- [Albrecht 04] ALBRECHT, G.: Sinn und Unsinn der Prognose von Gewalt. In HEITMEYER, W. (Hrsg.): *Gewalt Entwicklungen, Strukturen, Analyseprobleme*. Suhrkamp, 2004, S. 475–524
- [Algorithm Watch 16] ALGORITHM WATCH. *Das ADM-Manifest | The ADM Manifesto*. <https://algorithmwatch.org/das-adm-manifest-the-adm-manifesto/>. 2016, [Online; accessed 06-May-2017]
- [Altman 94] ALTMAN, D. G. ; BLAND, J. M.: Diagnostic tests. 1: Sensitivity and specificity. In: *BMJ: British Medical Journal*. 308, (1994), Nr. 6943, S. 1552, 1994
- [Amnesty International 13] AMNESTY INTERNATIONAL. *Amnesty Report - Vereinigte Staaten von Amerika*. <https://www.amnesty.de/jahresbericht/2013/vereinigte-staaten-von-amerika>. 2013, [Online; accessed 06-May-2017]
- [Amnesty International 15] AMNESTY INTERNATIONAL. *Amnesty Report - Vereinigte Staaten von Amerika*. <https://www.amnesty.de/jahresbericht/2015/vereinigte-staaten-von-amerika>. 2015, [Online; accessed 06-May-2017]
- [Andrews 06] ANDREWS, D. A.: The Recent Past and Near Future of Risk and/or Need Assessment. In: *Crime & Delinquency*. 52, (2006), Nr. 1, S. 7–27, jan 2006
- [Angwin 16] ANGWIN, J. ; LARSON, J. ; MATTU, S. ; KIRCHNER, L.: Machine Bias -There's software used across the country to predict future criminals. And it's biased against blacks. In: *ProPublica*. 23.05.2016, (2016), 2016. <https://www.propublica.org/article/machine-bias-risk-assessments-in-criminal-sentencing>, . [Online; accessed 05-Mai-2017]
- [Azariadis 81] AZARIADIS, C.: Self-fulfilling prophecies. In: *Journal of Economic Theory*. 25, (1981), Nr. 3, S. 380–396, dec 1981
- [Baird 09] BAIRD, C.: A question of evidence: A critique of risk assessment models used in the justice system. In: *Madison, WI: National Council on Crime and Delinquency*. (2009), 2009

- [Barnoski 07] BARNOSKI,R. ; DRAKE,E.: Washington's Offender Accountability Act: Department of Corrections' Static Risk Instrument. Technischer Bericht, Washington State Institute for Public Policy, 2007
- [Beck 86] BECK,J. R. ; SHULTZ,E. K.: The use of relative operating characteristic (ROC) curves in test performance evaluation. In: *Archives of pathology & laboratory medicine*. 110, (1986), Nr. 1, S. 13–20, 1986
- [Beigi 11] BEIGI,M. M. ; BEHJATI,M. ; MOHABATKAR,H.: Prediction of metalloprotease family based on the concept of Chou's pseudo amino acid composition using a machine learning approach. In: *Journal of Structural and Functional Genomics*. 12, (2011), Nr. 4, S. 191–197, dec 2011
- [Beizer 95] BEIZER,B.: *Black-box Testing: Techniques for Functional Testing of Software and Systems*. New York, NY, USA: John Wiley & Sons, Inc., 1995
- [Bliesener 14] BLIESENER,T. ; LÖSEL,F. ; KÖHNKEN,G.: *Lehrbuch der Rechtspsychologie*. Hans Huber, 09 2014
- [Boetticher 07] BOETTICHER,A. ; KRÖBER,H.-L. ; MÜLLER-ISBERNER,R. ; BÖHM,K. M. ; MÜLLER-METZ,R. ; WOLF,T.: Mindestanforderungen für Prognosegutachten. In: *Forensische Psychiatrie, Psychologie, Kriminologie*. 1, (2007), Nr. 2, S. 90–100, feb 2007
- [Bradley 97] BRADLEY,A. P.: The use of the area under the ROC curve in the evaluation of machine learning algorithms. In: *Pattern Recognition*. 30, (1997), Nr. 7, S. 1145–1159, jul 1997
- [Brennan 09a] BRENNAN,T. ; DIETERICH,B. ; BREITENBACH,M. ; MATTSON,B. A Response to "Assessment of Evidence on the Quality of the Correctional Offender Management Profiling for Alternative Sanctions (COMPAS)". http://www.northpointeinc.com/files/whitepapers/Response_to_Skeem_Louden_Final_071509.pdf. June 2009, [Online; accessed 28-March-2017]
- [Brennan 09b] BRENNAN,T. ; DIETERICH,W. ; EHRET,B.: Evaluating the Predictive Validity of the Compas Risk and Needs Assessment System. In: *Criminal Justice and Behavior*. 36, (2009), Nr. 1, S. 21–40, jan 2009
- [Burgess 28] BURGESS,E. W.: Factors determining success or failure on parole. In: *The workings of the indeterminate sentence law and the parole system in Illinois*. (1928), S. 205–249, 1928
- [Burnham 02] BURNHAM,B. R.: Positive predictive value of a health history questionnaire. In: *Military medicine*. 167, (2002), Nr. 8, S. 639, 2002
- [Burrell 96] BURRELL,H. C. ; PINDER,S. E. ; WILSON,A. R. M. ; EVANS,A. J. ; YEOMAN,L. J. ; ELSTON,C. W. ; ELLIS,I. O.: The positive predictive value of mammographic signs: A review of 425 non-palpable breast lesions. In: *Clinical radiology*. 51, (1996), Nr. 4, S. 277–281, apr 1996
- [Cesare 64] CESARE,B.: Dei delitti e delle pene. In: *Opera immortale, Vienna, Sam*. (1764), 1764

- [Chettiar 11] CHETTIAR,I. ; GUPTA,V.: Smart Reform is Possible: States Reducing Incarceration Rates and Costs While Protecting Communities. In: *SSRN Electronic Journal*. (2011), 2011
- [Dahle 06] DAHLE,K. P.: Grundlagen und Methoden der Kriminalprognose. In: *Handbuch der Forensischen Psychiatrie: Band 3 Psychiatrische Kriminalprognose und Kriminaltherapie*. Steinkopff-Verlag, 2006, S. 1–67
- [Dahle 97] DAHLE,K.-P.: Kriminalprognosen im Strafrecht. Psychologische Aspekte individueller Verhaltensvorhersagen. In: *Psychologie im Strafverfahren*. Huber, Bern. (1997), S. 119–140, 1997
- [Dieterich 16] DIETERICH,W. ; MENDOZA,C. ; BRENNAN,T.: COMPAS risk scales: Demonstrating accuracy equity and predictive parity. Technischer Bericht, Technical report, Northpointe, July 2016. <http://www.northpointeinc.com/northpointe-analysis>, 2016
- [Dittmann 03] DITTMANN,V.: Was kann die Kriminalprognose heute leisten? In HÄSSLER,F. (Hrsg.): *Forensische Kinder-, Jugend-und Erwachsenenpsychiatrie: Aspekte der forensischen Begutachtung*. Schattauer Verlag, 2003, S. 173–187
- [Döbele 13] DÖBELE,A.-L.: *Standardisierte Prognoseinstrumente zur Vorhersage des Rückfallrisikos von Straftätern: eine kritische Betrachtung des Einsatzes in der Strafrechtspflege aus juristischer Sicht*. Kovac, Dr. Verlag, 2013
- [Eher 08] EHER,R. ; RETTENBERGER,M. ; SCHILLING,F. ; PFÄFFLIN,F.: Validität oder praktischer Nutzen? Rückfallvorhersagen mittels Static-99 und SORAG. Eine prospektive Rückfallstudie an 275 Sexualstraftätern. In: *Recht & Psychiatrie*. 26, (2008), S. 79–88, 2008
- [Endrass 08] ENDRASS,J. ; URBANIOK,F. ; HELD,L. ; VETTER,S. ; ROSSEGGER,A.: Accuracy of the Static-99 in Predicting Recidivism in Switzerland. In: *International Journal of Offender Therapy and Comparative Criminology*. 53, (2008), Nr. 4, S. 482–490, feb 2008
- [Farabee 10] FARABEE,D. ; ZHANG,S. ; ROBERTS,R. E. ; YANG,J.: COMPAS validation study: Final report. In: *Semel Institute for Neuroscience and Human Behavior, UCLA, Los Angeles, CA*. (2010), 2010
- [Fergusson 77] FERGUSSON,D. M. ; FIFIELD,J. K. ; SLATER,S. W.: Signal Detectability Theory and the Evaluation of Prediction Tables. In: *Journal of Research in Crime and Delinquency*. 14, (1977), Nr. 2, S. 237–246, jul 1977
- [Focus Online 09] FOCUS ONLINE. *Häftlinge sollen ihren Gefängnisaufenthalt in den USA künftig bezahlen*. http://www.focus.de/politik/weitere-meldungen/usa-haeftlinge-sollen-ihren-gefaengnisaufenthalt-in-den-usa-kuenftig-bezahlen_aid_426102.html. 08 2009, [Online; accessed 06-May-2017]
- [Goutte 05] GOUTTE,C. ; GAUSSIER,E.: A Probabilistic Interpretation of Precision, Recall and F-Score, with Implication for Evaluation. In: *Lecture Notes in Computer Science*. Springer Berlin Heidelberg, 2005, S. 345–359

- [Guy 08] GUY, L. S.: *Performance indicators of the structured professional judgment approach for assessing risk for violence to others: A meta-analytic survey*. Dissertation, Simon Fraser University, 2008
- [Hanley 82] HANLEY, J. A. ; MCNEIL, B. J.: The meaning and use of the area under a receiver operating characteristic (ROC) curve. In: *Radiology*. 143, (1982), Nr. 1, S. 29–36, apr 1982
- [Heiser 13] HEISER, J. *Zehntausende im Hungerstreik*. <http://www.ag-friedensforschung.de/regionen/USA/haft.html>. 07 2013, [Online; accessed 06-May-2017]
- [Hengen 04] HENGEN, H. ; FEID, M. ; PANDIT, M.: Überwacht lernende Klassifikationsverfahren im Überblick, Teil 1 (Overview of Supervised learning Classification Methods, Part 1). In: *at-Automatisierungstechnik/Methoden und Anwendungen der Steuerungs-, Regelungs- und Informationstechnik*. 52, (2004), Nr. 3/2004, S. A1–A8, mar 2004
- [Honest 02] HONEST, H. ; KHAN, K. S.: Reporting of measures of accuracy in systematic reviews of diagnostic literature. In: *BMC Health Services Research*. 2, (2002), Nr. 1, S. 4, 2002
- [Horvát 12] HORVÁT, E.-Á. ; HANSELMANN, M. ; HAMPRECHT, F. A. ; ZWEIG, K. A.: One plus one makes three (for social networks). In: *PloS one*. 7, (2012), Nr. 4, S. e34740, 2012
- [Kerlikowske 93] KERLIKOWSKA, K. ; GRADY, D. ; BARCLAY, J. ; SICKLES, E. A. ; EATON, A. ; ERNSTER, V.: Positive Predictive Value of Screening Mammography by Age and Family History of Breast Cancer. In: *JAMA: The Journal of the American Medical Association*. 270, (1993), Nr. 20, S. 2444–2450, nov 1993
- [Kopans 92] KOPANS, D. B.: The positive predictive value of mammography. In: *AJR. American journal of roentgenology*. 158, (1992), Nr. 3, S. 521–526, mar 1992
- [Kröber 06] KRÖBER, H. L.: Kriminalprognostische Begutachtung. In: *Handbuch der Forensischen Psychiatrie*. Steinkopff-Verlag, 2006, S. 69–172
- [Kröber 99] KRÖBER, H.-L.: Gang und Gesichtspunkte der kriminalprognostischen psychiatrischen Begutachtung. In: *Neue Zeitschrift für Strafrecht*. 12, (1999), S. 593–599, 1999
- [Lansing 12] LANSING, S.: New York State COMPAS-probation risk and need assessment study: Examining the recidivism scale's effectiveness and predictive accuracy. In: *Retrieved March*. 1, (2012), S. 2013, 2012
- [Leushuis 09] LEUSHUIS, E. ; STEEG, J. W. VAN DER, ; STEURES, P. ; BOSSUYT, P. M. ; EIJKEMANS, M. J. ; VEEN, F. VAN DER, ; MOL, B. W. ; HOMPES, P. G.: Prediction models in reproductive medicine: a critical appraisal. In: *Human reproduction update*. 15, (2009), Nr. 5, S. 537–552, 2009

- [Liben-Nowell 03] LIBEN-NOWELL,D. ; KLEINBERG,J.: The Link Prediction Problem for Social Networks. In: *Proceedings of the Twelfth International Conference on Information and Knowledge Management*. New York, NY, USA: ACM Press, 2003, S. 556–559
- [Lischka 17] LISCHKA,K. ; KLINGEL,A. ; BERTELSMANN STIFTUNG. *Wenn Maschinen Menschen bewerten*. 2017
- [Lukic 09] LUKIC,E. A.: Evaluation of the Pretrial Services Program Administered by the Broward Sheriff's Office, Report No. 09-07. Technischer Bericht, Broward Sheriff's Office, https://www.broward.org/Auditor/Documents/pretrial_final060909.pdf, 05 2009. [Online; accessed 28-March-2017]
- [Manning 99] MANNING,C. D. ; SCHÜTZE,H. et al: *Foundations of statistical natural language processing*. MIT Press, 1999
- [Maschke 08] MASCHKE,W.: Die Kriminalprognose im Einzelfall. In: *Tagungsband der Jahrestagung 2008 - Deutsche Vereinigung für Jugendgerichte und Jugendgerichtshilfen e. V. Landesgruppe Baden-Württemberg*. Hochschule für Polizei Villingen-Schwenningen, 2008
- [McDermott 16] MCDERMOTT,R. ; BAR-JOSEPH,U.: Pearl Harbor and Midway: the decisive influence of two men on the outcomes. In: *Intelligence and National Security*. 31, (2016), Nr. 7, S. 949–962, mar 2016
- [Meehl 54] MEEHL,P. E.: *Clinical versus statistical prediction: A theoretical analysis and a review of the evidence*. University of Minnesota Press, 1954
- [Meyer 59] MEYER,F.: Der kriminologische Wert von Prognose Tafeln. In: *M Schr Krim*. 42, (1959), S. 214–245, 1959
- [Mohabatkar 13] MOHABATKAR,H. ; BEIGI,M. M. ; ABDOLAH,K. ; MOHSENZADEH,S.: Prediction of Allergenic Proteins by Means of the Concept of Chous Pseudo Amino Acid Composition and a Machine Learning Approach. In: *Medicinal Chemistry*. 9, (2013), Nr. 1, S. 133–137, feb 2013
- [Monahan 75] MONAHAN,J.: The prediction of violence. In: *Violence and criminal justice*. 15, (1975), S.32, 1975
- [Monahan 81] MONAHAN,J. ; BRODSKY,S. L. ; SHAN,S. A.: *Predicting violent behavior: An assessment of clinical techniques*. Sage Publications Beverly Hills, CA, 1981
- [Monahan 96] MONAHAN,J.: Violence prediction the past twenty and the next twenty years. In: *Criminal Justice and Behavior*. 23, (1996), Nr. 1, S. 107–120, 1996
- [Müller-Isberner 98] MÜLLER-ISBERNER,R. ; JÖCKEL,D. ; GONZALEZ CABEZA,S.: Die Vorhersage von Gewalttaten mit dem HCR-20. In: *Institut für Forensische Psychiatrie, Haina*. (1998), 1998
- [Murphy 87] MURPHY,A. H. ; WINKLER,R. L.: A General Framework for Forecast Verification. In: *Monthly Weather Review*. 115, (1987), Nr. 7, S. 1330–1338, jul 1987

- [n-tv 16] N-TV. *US-Privatgefängnissen droht das Aus*. <http://www.n-tv.de/politik/US-Privatgefängnissen-droht-das-Aus-article18453536.html>. 02 2016, [Online; accessed 06-May-2017]
- [Nedopil 05] NEDOPIL,N. ; GROSS,G.: *Prognosen in der Forensischen Psychiatrie: ein Handbuch für die Praxis*. Pabst Lengerich, 2005
- [Nevin 69] NEVIN,J. A.: Signal detection theory and operant behaviorA review of David M. Green and John A. Swets Signal detection theory and psychophysics. In: *Journal of the Experimental Analysis of Behavior*. 12, (1969), Nr. 3, S. 475–480, may 1969
- [Northpointe 12a] NORTHPOINTE. *COMPAS Risk & Need Assessment System - Selected Questions Posed by Inquiring Agencies*. http://www.northpointeinc.com/files/downloads/FAQ_Document.pdf. 2012, [Online; accessed 27-March-2017]
- [Northpointe 12b] NORTHPOINTE. *Practitioner's Guide to COMPAS Core*. http://www.northpointeinc.com/downloads/compas/Practitioners-Guide-COMPAS-Core-_031915.pdf. 03 2012, [Online; accessed 27-March-2017]
- [Obergfell-Fuchs 11] OBERGFELL-FUCHS,J.: Gefährliche Straftäter aus kriminologischer und psychologischer Sicht. In: *Tagungsband „Sicherungsverwahrung und Führungsaufsicht. Wie gehen wir mit gefährlichen Straftätern um?“ Evangelische Akademie Bad Boll*. (2011), 2011
- [Peterson 54] PETERSON,W. ; BIRDSALL,T. ; FOX,W.: The theory of signal detectability. In: *Transactions of the IRE Professional Group on Information Theory*. 4, (1954), Nr. 4, S. 171–212, sep 1954
- [Pogue 62] POGUE,F. C. ; WOHLSTETTER,R.: *Pearl Harbor: Warning and Decision*. Stanford University Press, 1962
- [Potapov 12] POTAPOV,S.: *Zur Verbesserung der Splitkriterien bei Klassifikationsbäumen und Ensemble-Methoden*. Dissertation, m Institut für Medizininformatik, Biometrie und Epidemiologie der Friedrich-Alexander-Universität Erlangen-Nürnberg, 2012
- [Provost 98] PROVOST,F. J. ; FAWCETT,T. ; KOHAVI,R.: The case against accuracy estimation for comparing induction algorithms. In: *ICML*. Bd. 98, 1998, S. 445–453
- [Rettenberger 13] RETTENBERGER,M. ; FRANQUÉ,F.VON,: *Handbuch kriminalprognostischer Verfahren*. Hogrefe Verlag, 2013
- [Rice 95] RICE,M. E. ; HARRIS,G. T.: Violent recidivism: assessing predictive validity. In: *Journal of consulting and clinical psychology*. 63, (1995), Nr. 5, S. 737, 1995
- [Rössner 00] RÖSSNER,D. ; JEHLE,J.-M.: *Beccaria als Wegbereiter der Kriminologie*. Forum Verlag Godesberg GmbH, 2000
- [Sack 78] SACK,F.: Probleme der Kriminalsoziologie. In: *Handbuch der empirischen Sozialforschung*. 12, (1978), S. 192–492, 1978
- [Schiedt 36] SCHIEDT,R. *Ein Beitrag zum Problem der Rückfallprognose*. Münchener Zeitungsverl. 1936

- [Schneider 67] SCHNEIDER, H. J.: *Prognostische Beurteilung des Rechtsbrechers: Die ausländische Forschung*. Verlag für Psychologie, 1967
- [Schwind 10] SCHWIND, H.-D.: *Kriminologie: eine praxisorientierte Einführung mit Beispielen*. CF Müller GmbH, 2010
- [Singhal 01] SINGHAL, A.: Modern information retrieval: A brief overview. In: *IEEE Data Eng. Bull.* 24, (2001), Nr. 4, S. 35–43, 2001
- [statista 17a] STATISTA. *Länder mit der größten Anzahl an Inhaftierten (Februar 2017*)*. <https://de.statista.com/statistik/daten/studie/3212/umfrage/laender-mit-den-meisten-gefangenen-im-jahr-2007/>. 2017, [Online; accessed 06-May-2017]
- [statista 17b] STATISTA. *USA: Gesamtbevölkerung von 2007 bis 2017 (in Millionen Einwohner)*. <https://de.statista.com/statistik/daten/studie/19320/umfrage/gesamtbevoelkerung-der-usa/>. 2017, [Online; accessed 10-May-2017]
- [Swets 64] SWETS, J. A.: *Signal Detection and Recognition in Human Observers: Contemporary Readings*. John Wiley and Sons, 1964
- [Swets 66] SWETS, J. A. ; GREEN, D. M.: *Signal detection theory and psychophysics*. Wiley, 1966
- [Swets 73] SWETS, J. A.: The relative operating characteristic in psychology. In: *Science*. 182, (1973), Nr. 4116, S. 990–1000, 1973
- [Swets 88] SWETS, J. A.: Measuring the accuracy of diagnostic systems. In: *Science*. 240, (1988), Nr. 4857, S. 1285–1293, jun 1988
- [Urbaniok 08] URBANIOK, F. ; RINNE, T. ; HELD, L. ; ROSSEGGER, A. ; ENDRASS, J.: Forensische Risikokalkulationen: Grundlegende methodische Aspekte zur Beurteilung der Anwendbarkeit und Validität verschiedener Verfahren. In: *Fortschritte der Neurologie · Psychiatrie*. 76, (2008), Nr. 08, S. 470–477, aug 2008
- [US Supreme Court 66] US SUPREME COURT: Baxstrom v. Herold, 383 U.S. 107 (1966). In: *No. 219*. (1966), 1966. <https://supreme.justia.com/cases/federal/us/383/107/case.html>
- [van Rijsbergen 79] RIJSBERGEN, C.VAN,. *Information Retrieval. 1979*. Dept. of Computer Science, University of Glasgow. 1979
- [Volckart 97] VOLCKART, B.: *Praxis der Kriminalprognose: Methodologie und Rechtsanwendung*. Beck, 1997
- [Walmsley 14] WALMSLEY, R.: World Prison Population List. In: *World Prison Brief*. (2014), 2014
- [Walpole 93] WALPOLE, R. E. ; MYERS, R. H. ; MYERS, S. L. ; YE, K.: *Probability and statistics for engineers and scientists*. Macmillan New York, 1993

- [Webster 97] WEBSTER, C. D. et al: HCR-20: Assessing risk for violence. In: *Mental Health, Law, and Policy Institute, Simon Fraser University, in cooperation with the British Columbia Forensic Psychiatric Services Commission.* (1997), 1997
- [Werner 16] WERNER, K. *Nudeln sind die neue Währung in US-Gefängnissen.* Süddeutsche Zeitung. 08 2016, <http://www.sueddeutsche.de/panorama/gefaengniswaehrung-zwei-suppen-fuer-ein-t-shirt-1.3132582> - [Online; accessed 06-May-2017]
- [Wisconsin Department of Correction 17] WISCONSIN DEPARTMENT OF CORRECTION. *COMPAS Assessment Tool.* <http://doc.wi.gov/about/doc-overview/office-of-the-secretary/office-of-reentry/compas-assessment-tool>. 2017, [Online; accessed 27-March-2017]
- [Zweig 16] ZWEIG, K. A. *2. Arbeitspapier: Überprüfbarkeit von Algorithmen.* Algorithm Watch. 07 2016, <http://algorithm-watch.org/zweites-arbeitspapier-ueberpruefbarkeit-algorithmen/> - [Online; accessed 06-May-2017]